

Fig. 1A

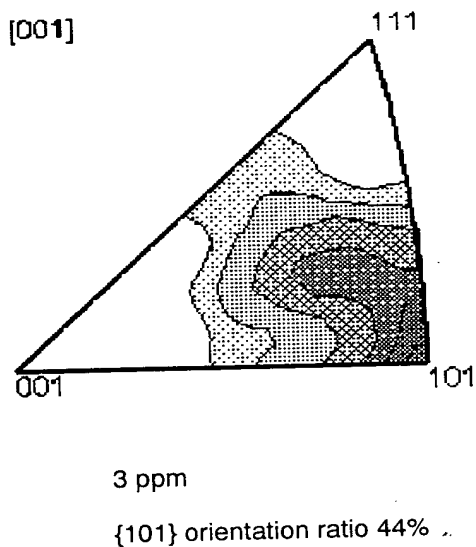


Fig. 1B

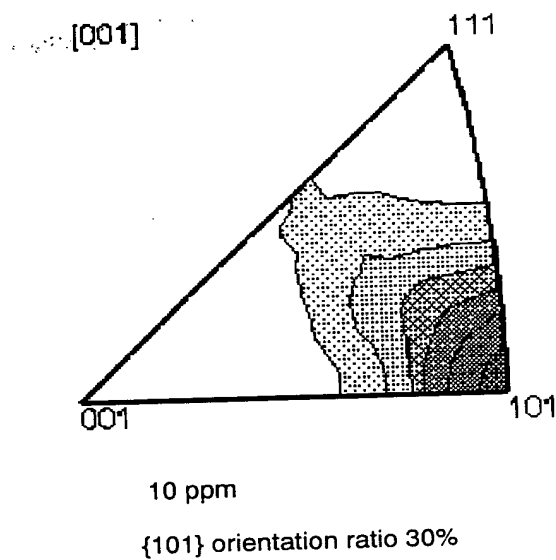


Fig. 1C

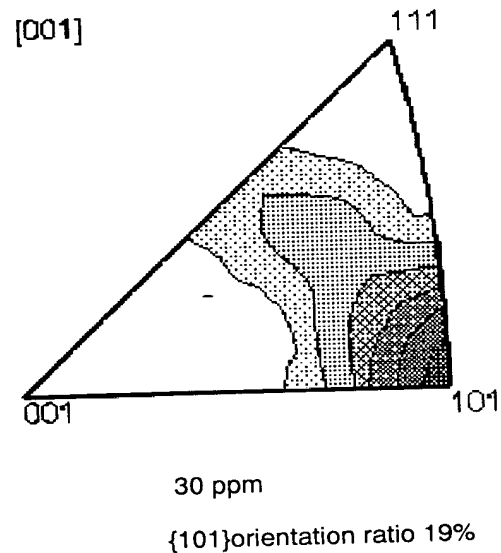


Fig. 1D

TOP = PREFERRED ORIENTATION

Q9

Fig. 2

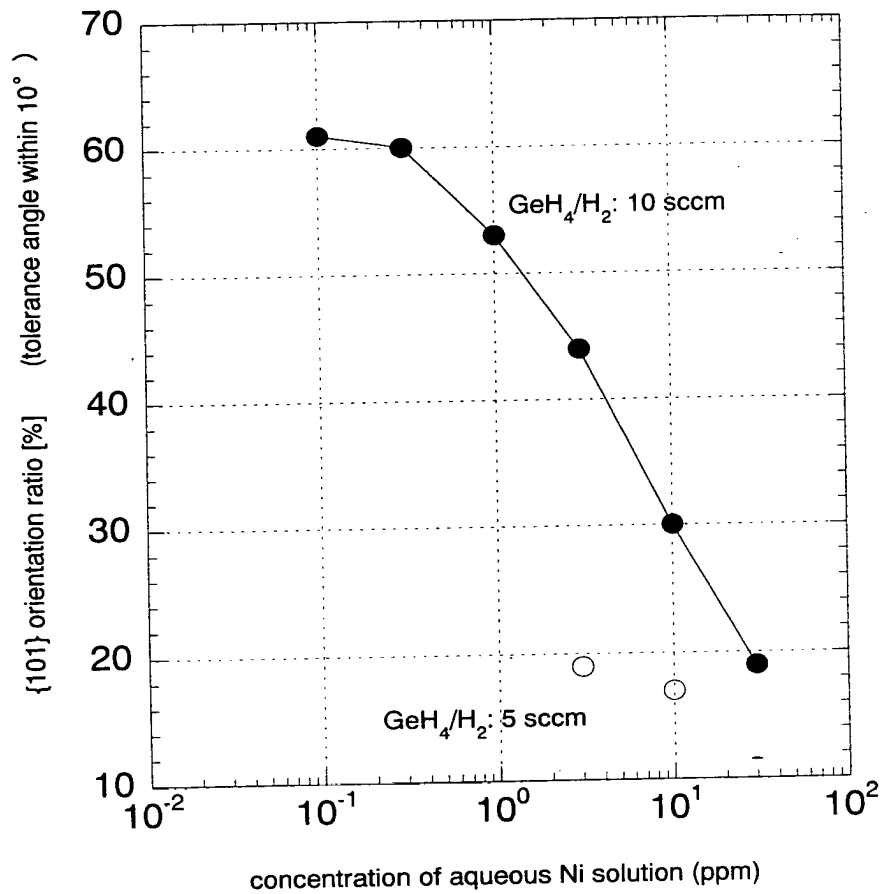


Fig. 3

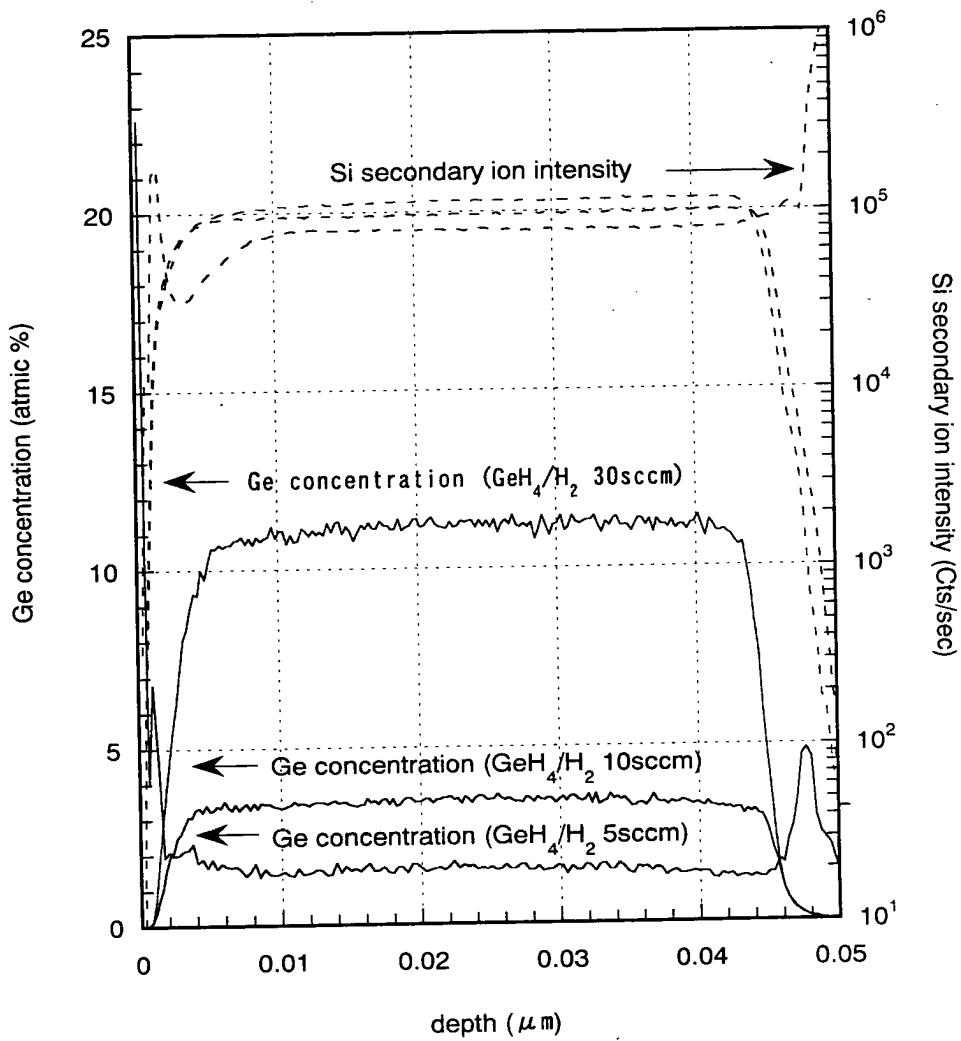


Fig. 4

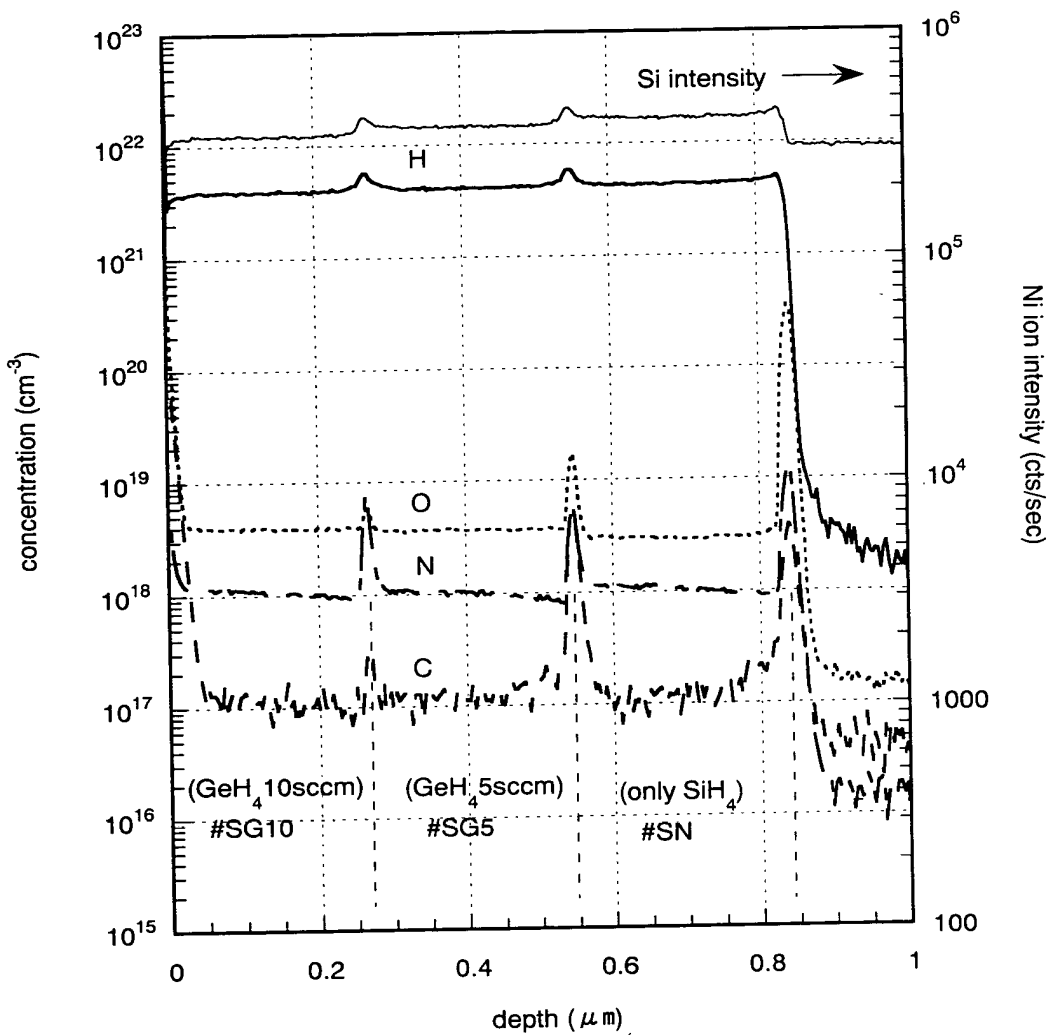
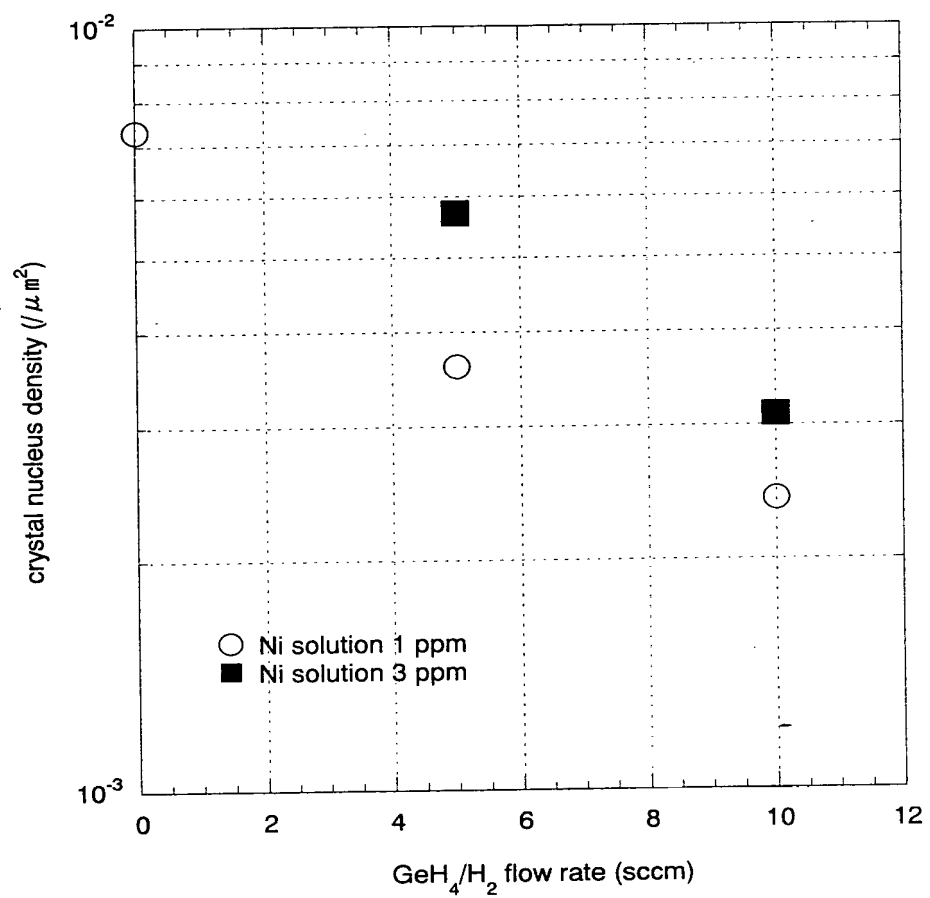


Fig. 5



1044730 680033610

Fig. 6

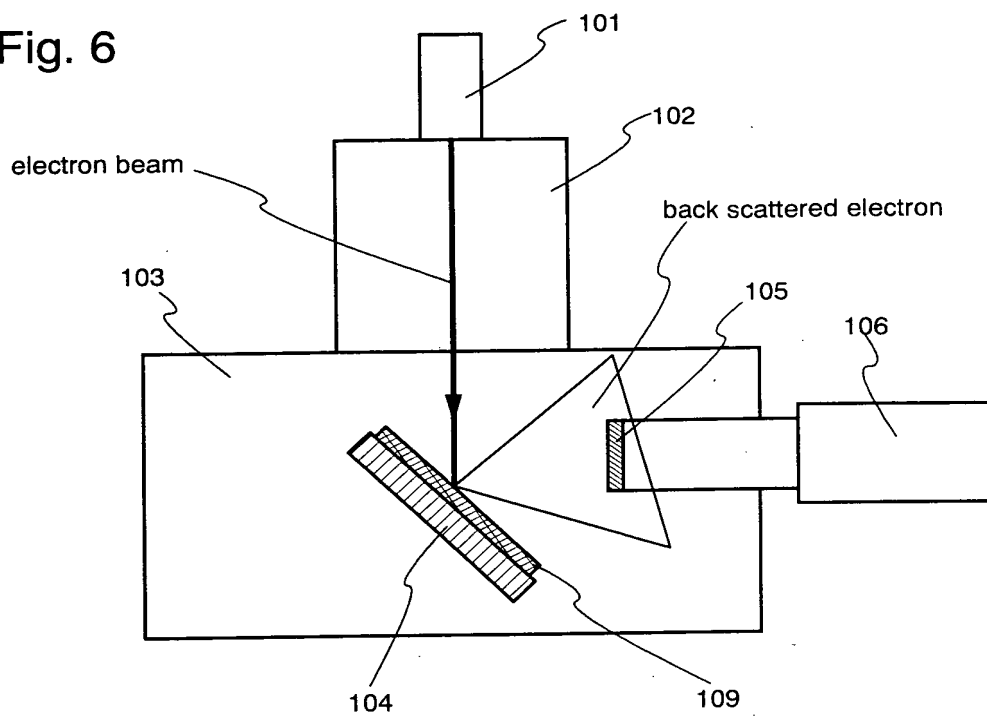


Fig. 7

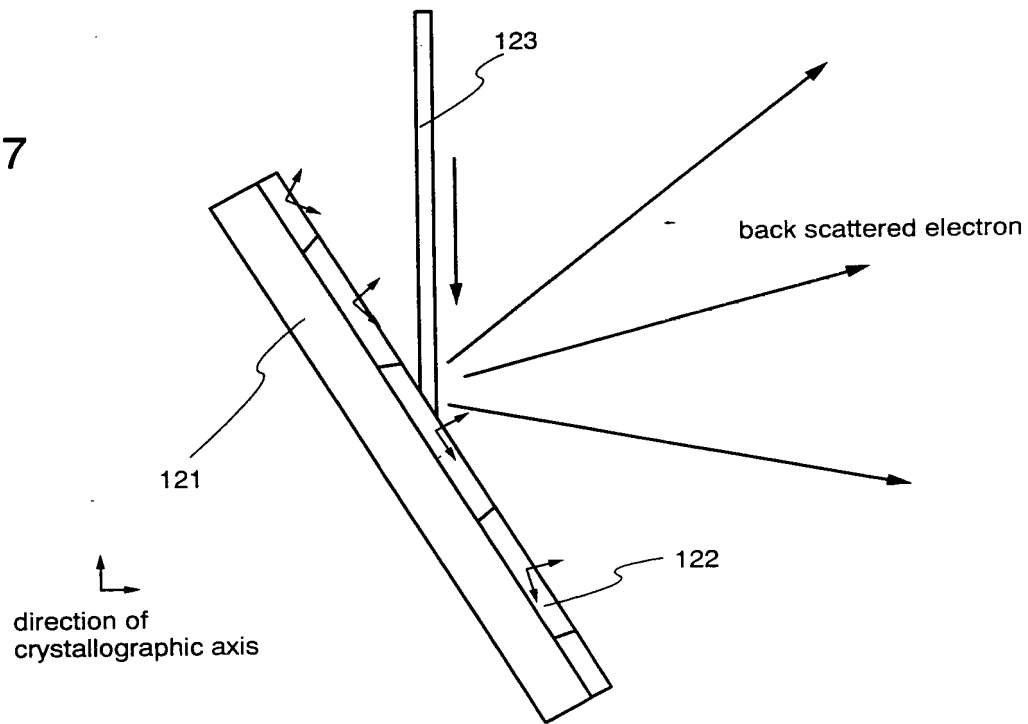


Fig. 8A

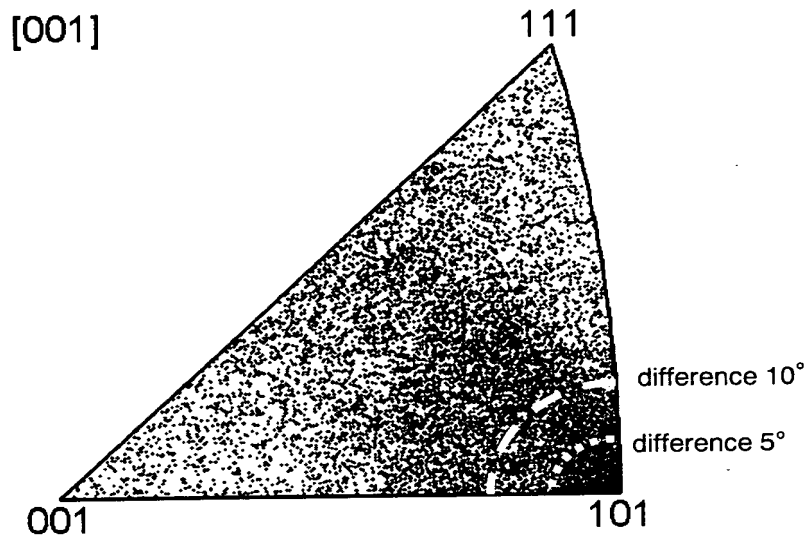


Fig. 8B

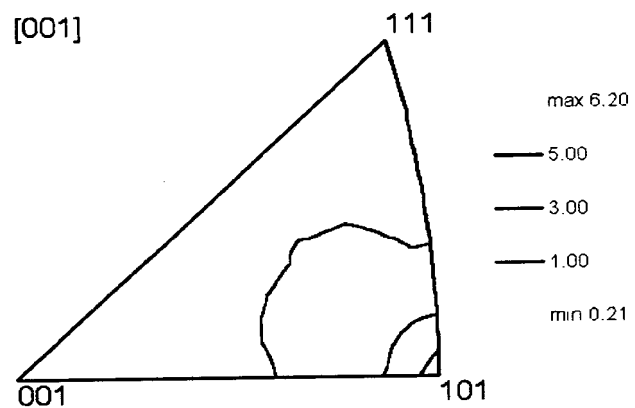


Fig. 9

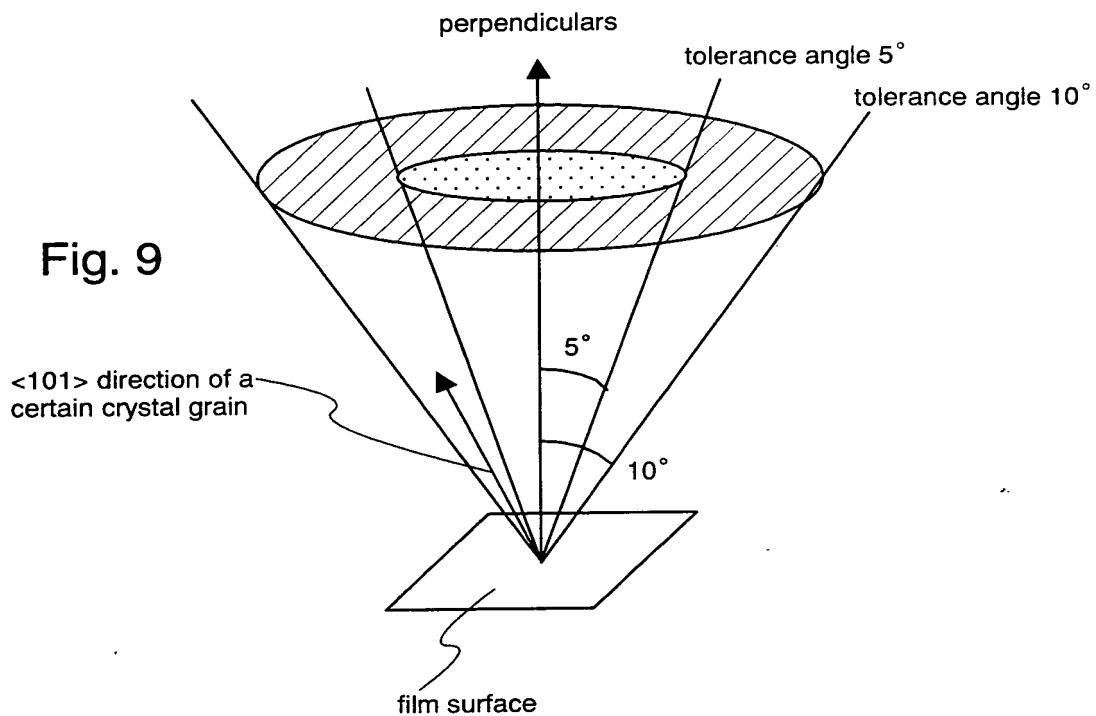


Fig. 10

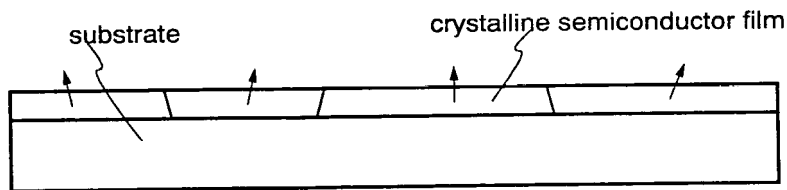


Fig. 11A

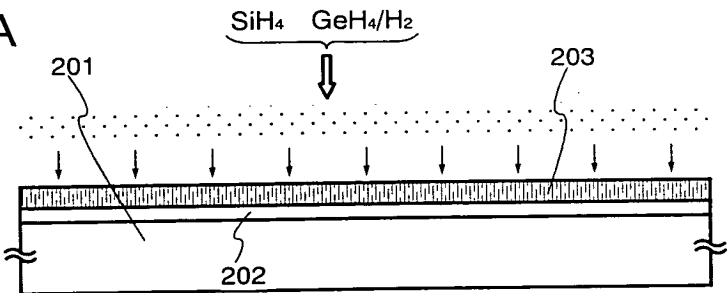


Fig. 11B

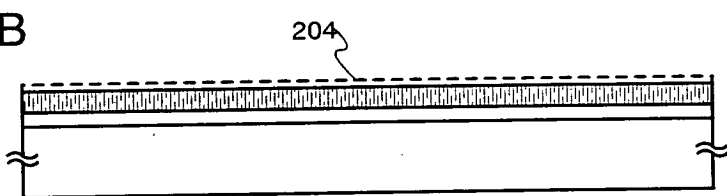


Fig. 11C

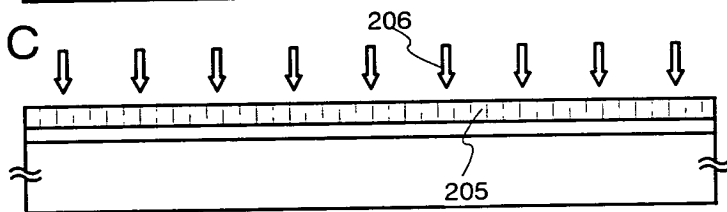


Fig. 11D

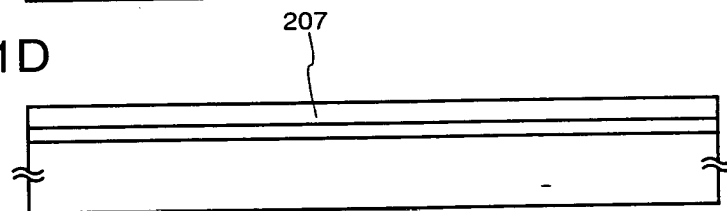


Fig. 12A-a

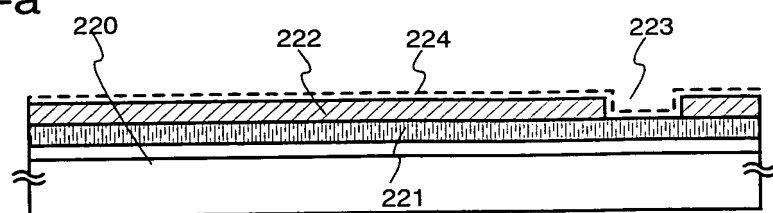


Fig. 12A-b

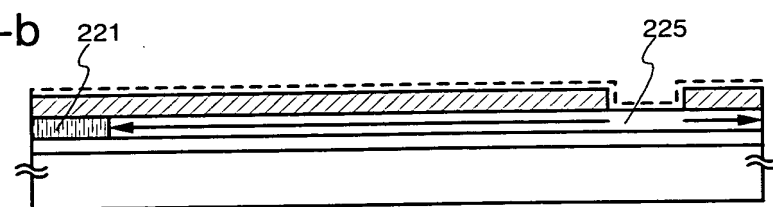


Fig. 12A-c

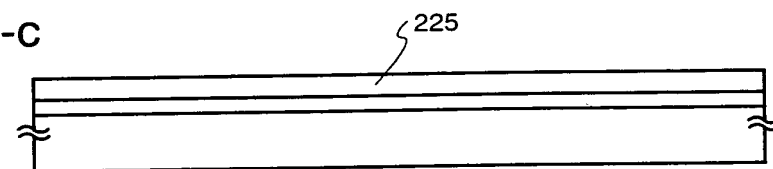


Fig. 12B-a

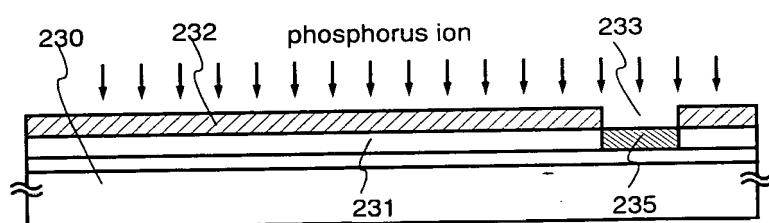


Fig. 12B-b

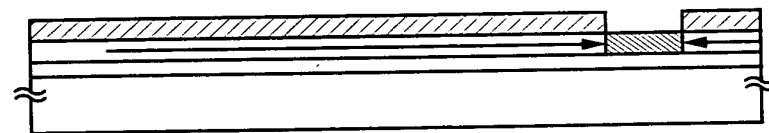
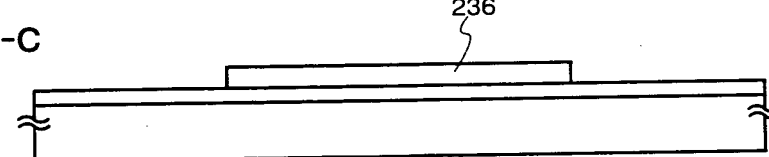


Fig. 12B-c



Y-63117-300-66000-9510

Fig. 13A

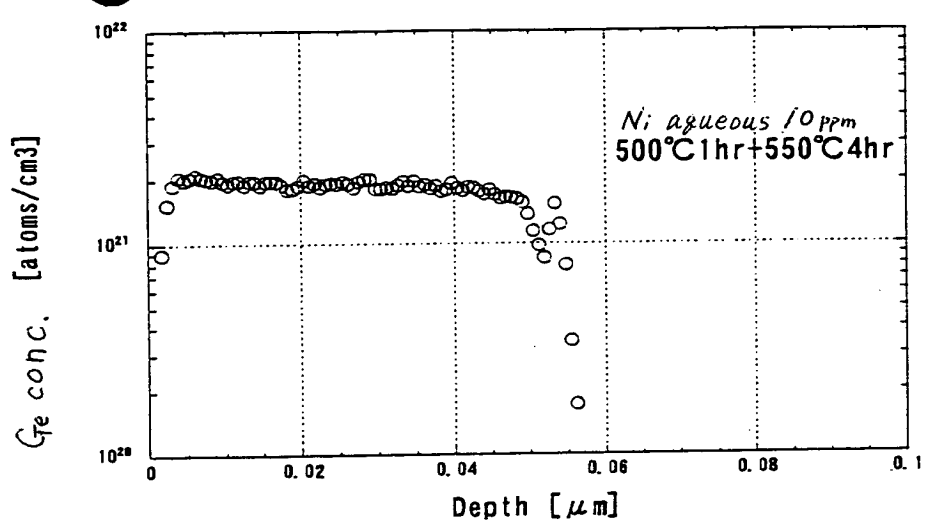


Fig. 13B

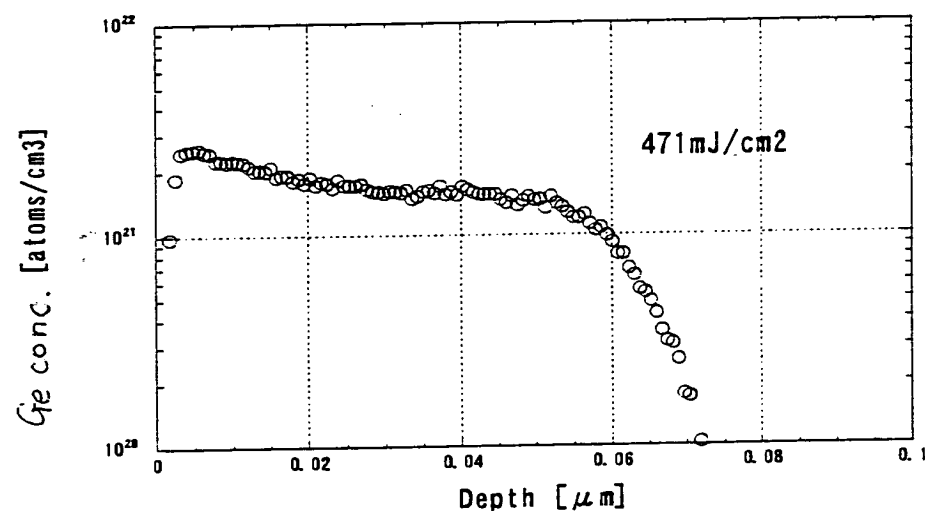
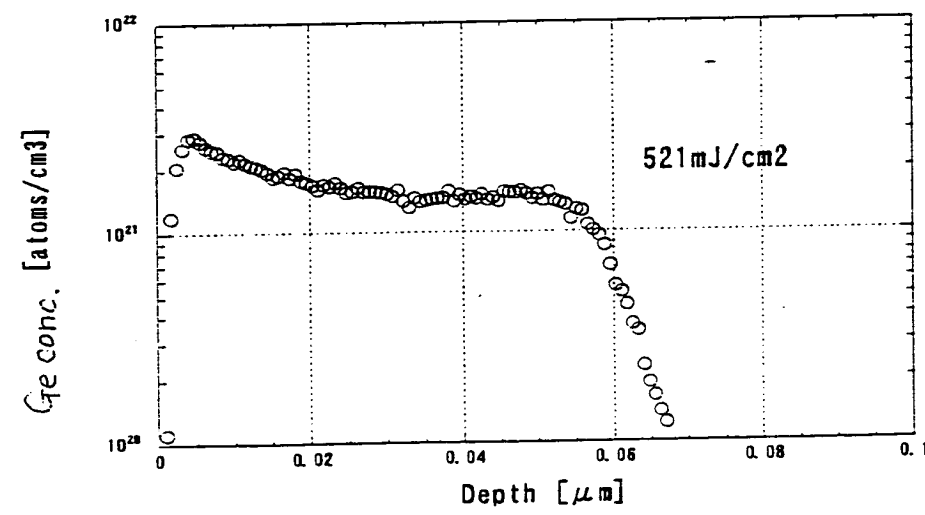


Fig. 13C



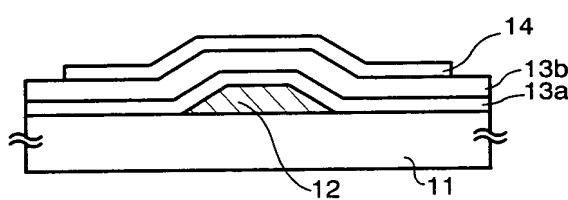


Fig. 14A

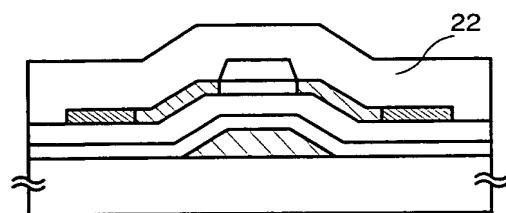


Fig. 14E

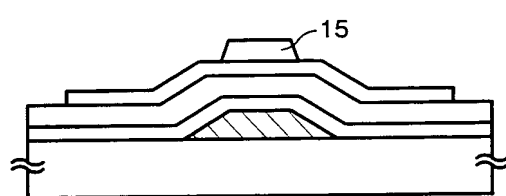
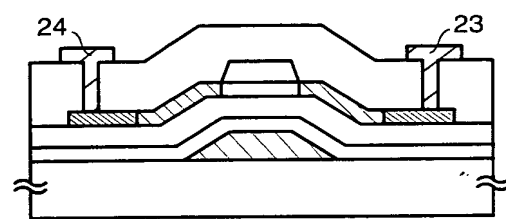


Fig. 14B



n-channel TFT
Fig. 14F

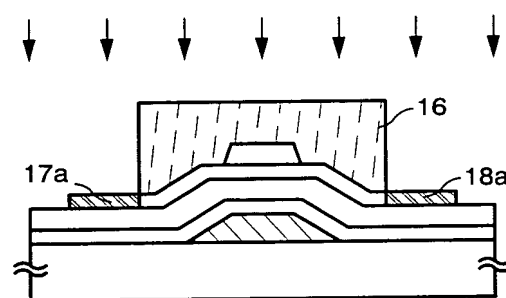


Fig. 14C

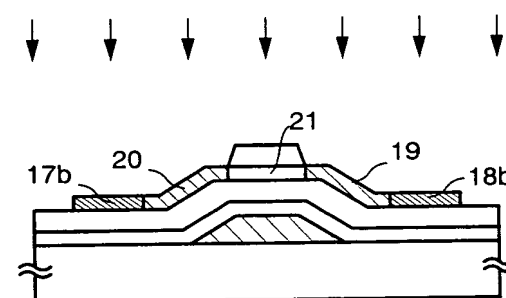


Fig. 14D

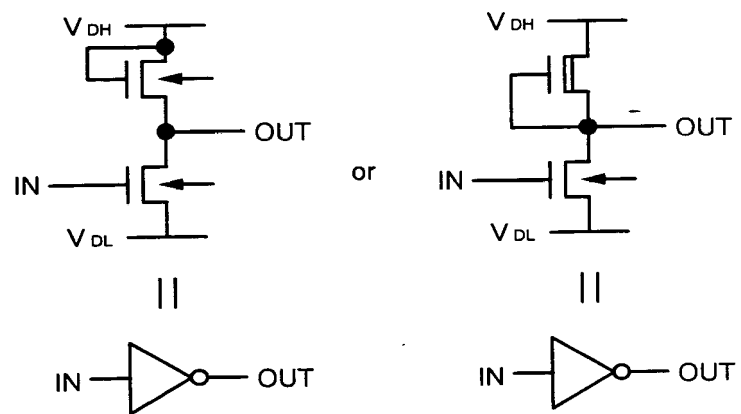
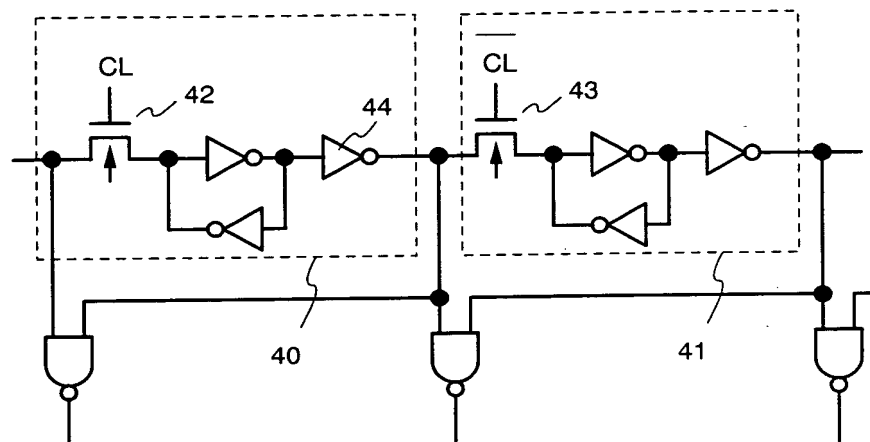
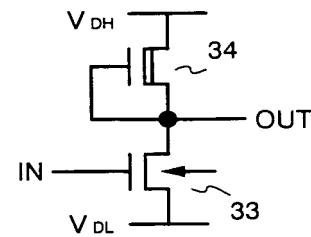
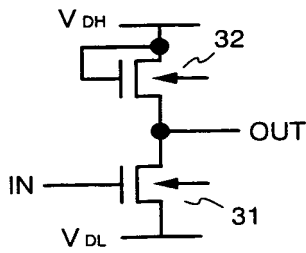


Fig.17A

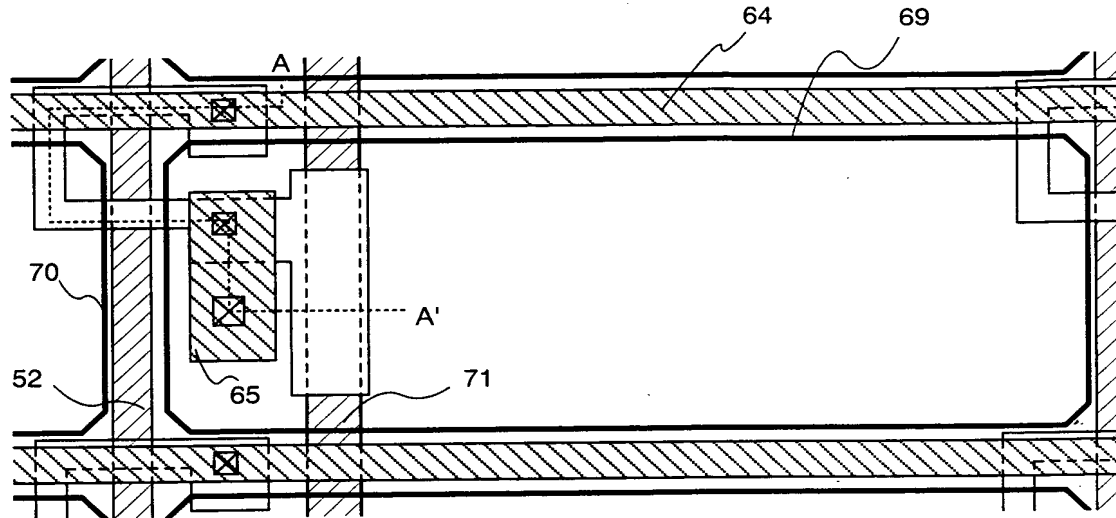


Fig.17B

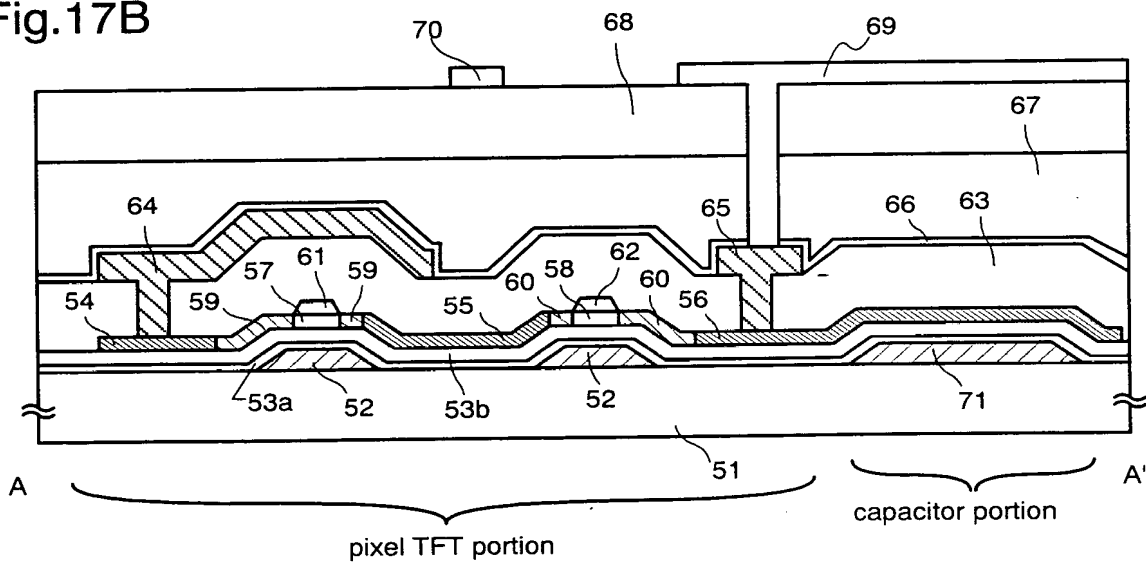


Fig. 18

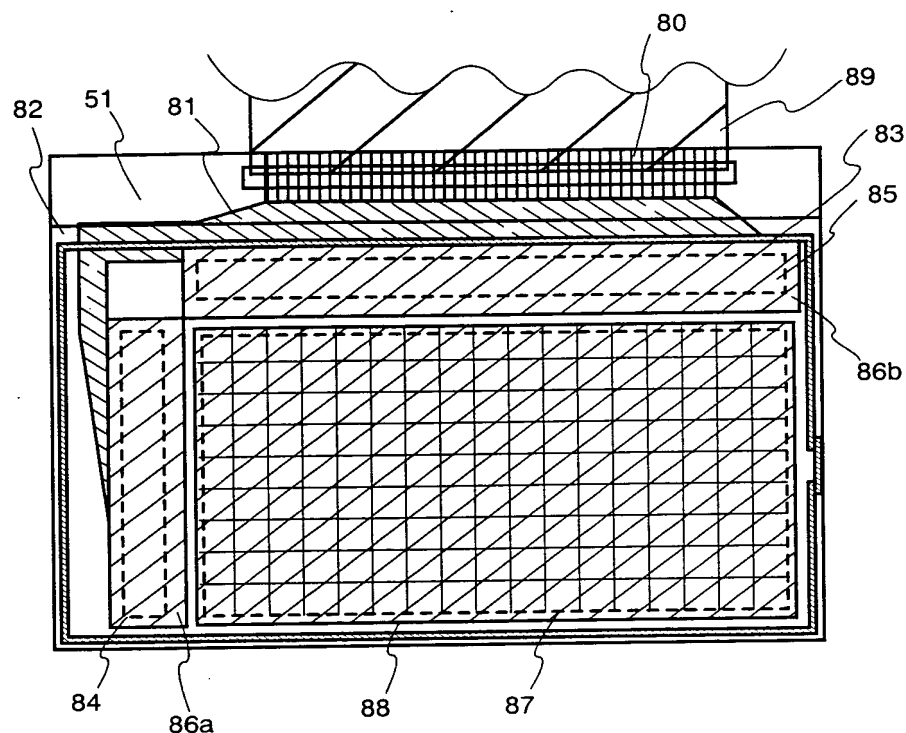


Fig. 19

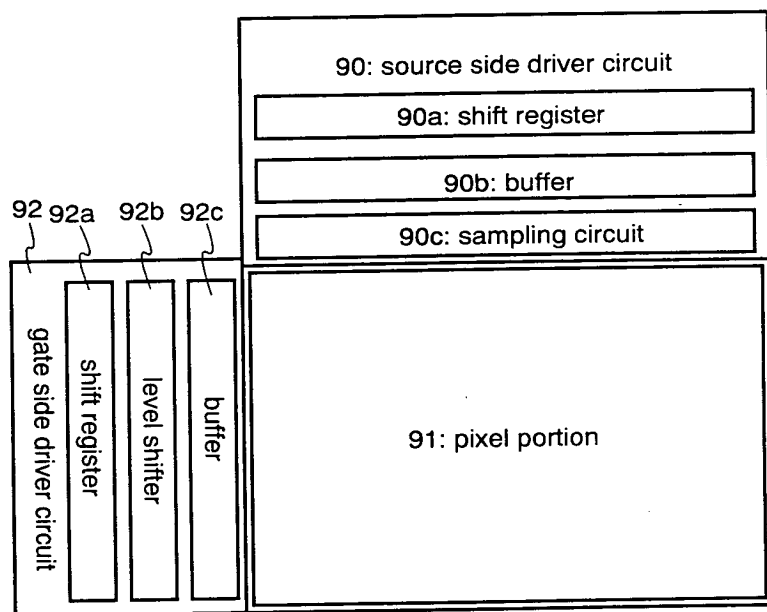
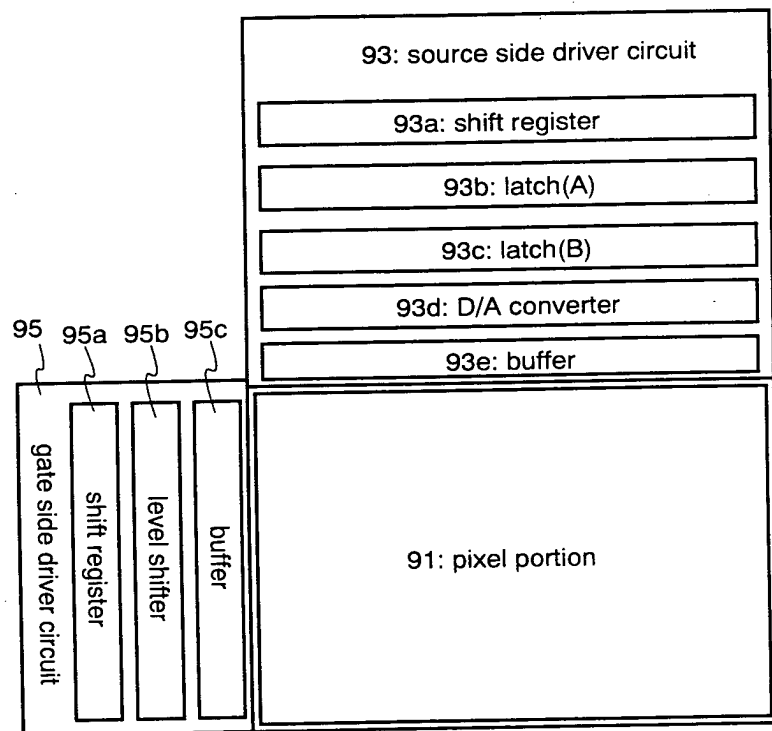


Fig. 20



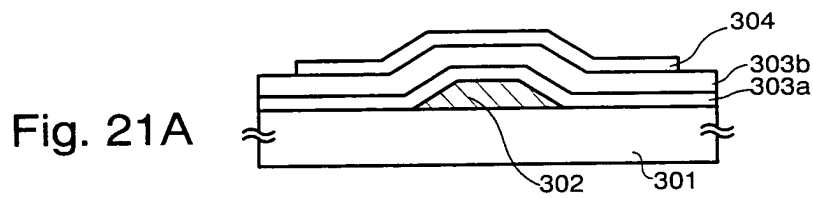


Fig. 21A

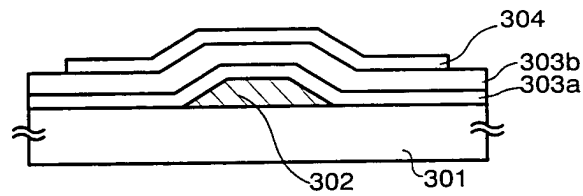


Fig. 21B

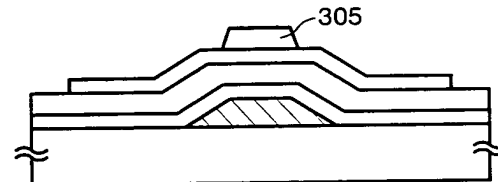


Fig. 21C

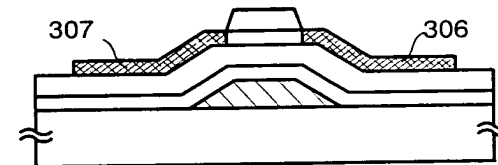


Fig. 21D

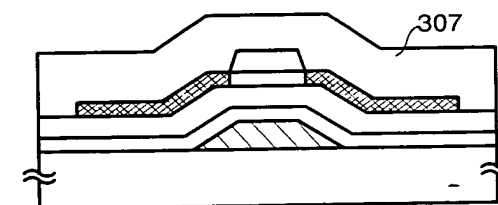
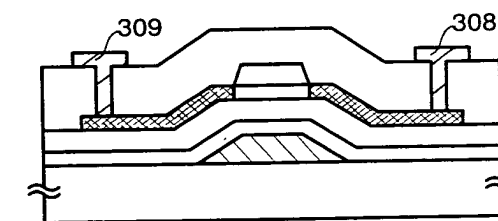


Fig. 21E



p-channel TFT

Fig. 22A

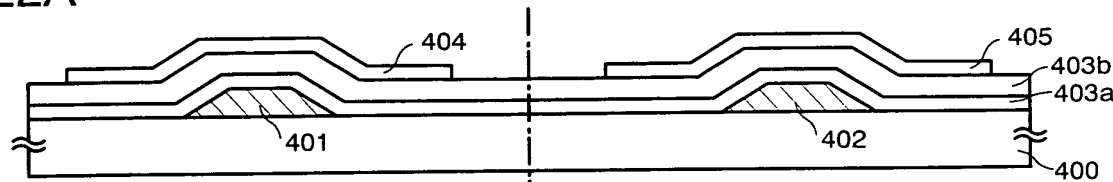


Fig. 22B

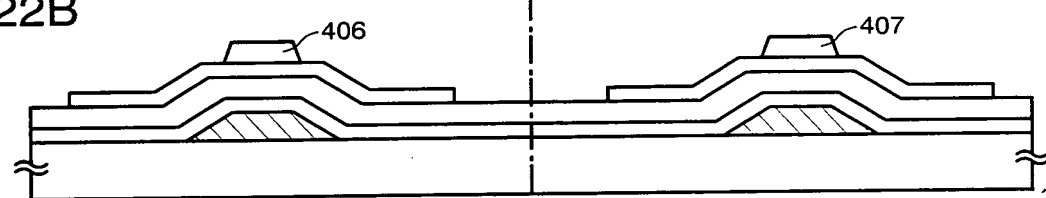


Fig. 22C

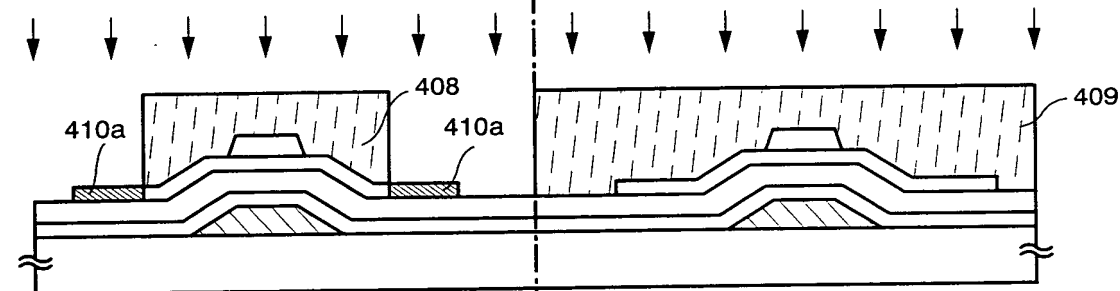


Fig. 22D

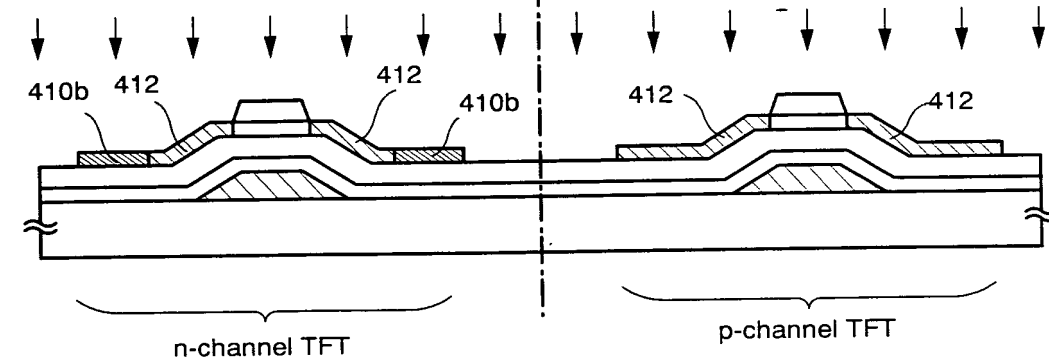


Fig. 23A

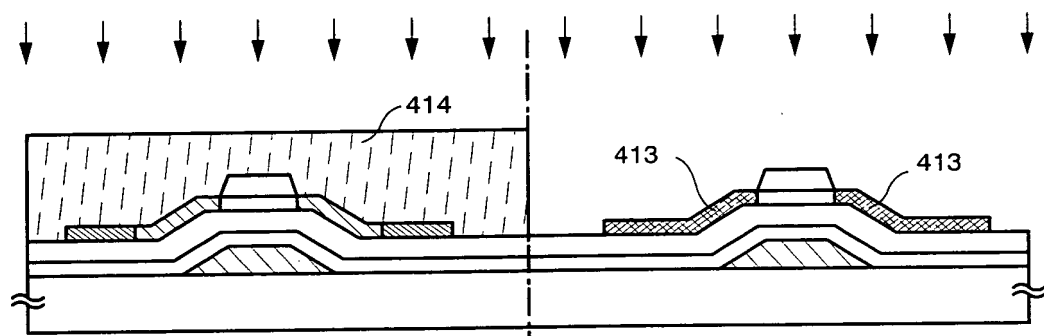


Fig. 23B

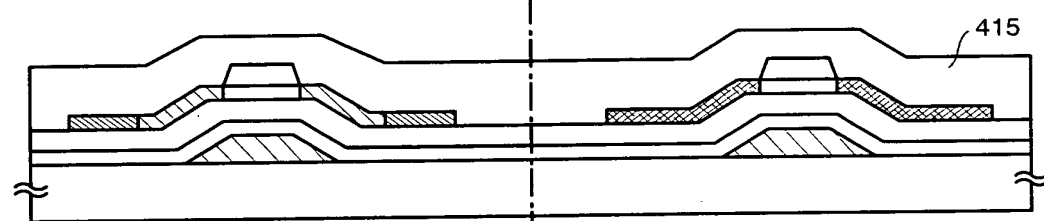


Fig. 23C

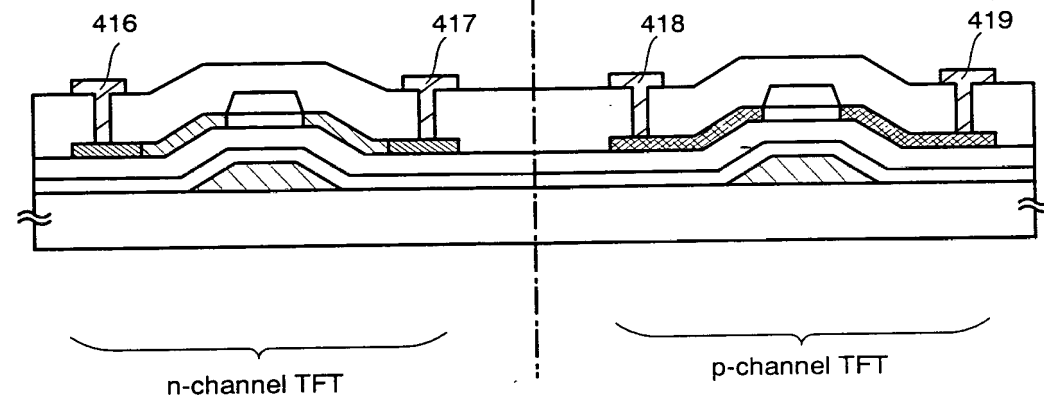


Fig. 24A

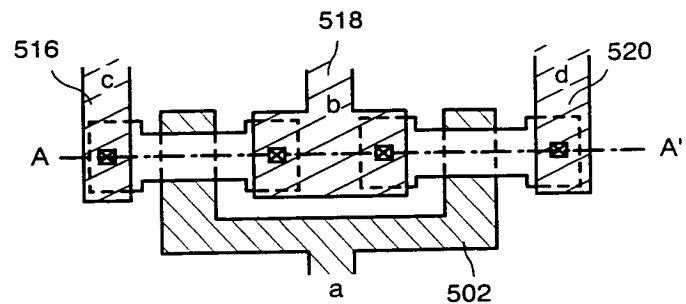


Fig. 24B

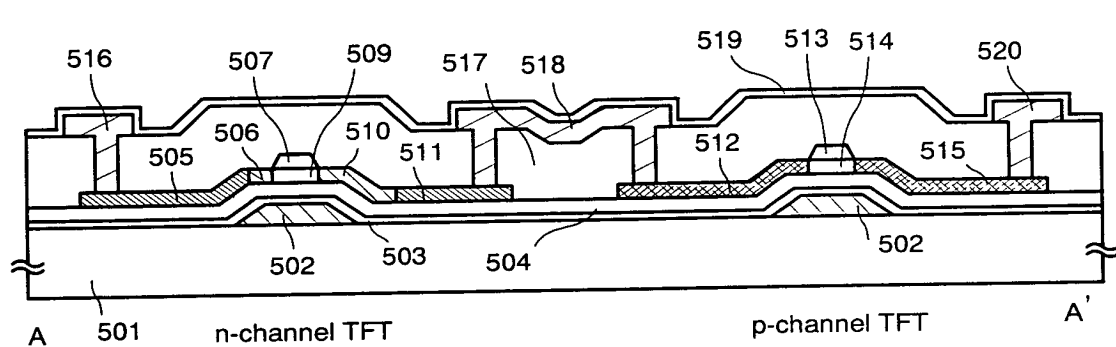


Fig. 24C

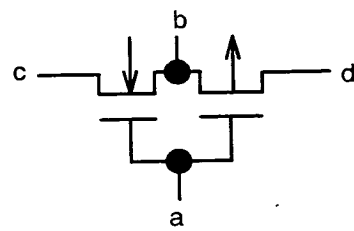
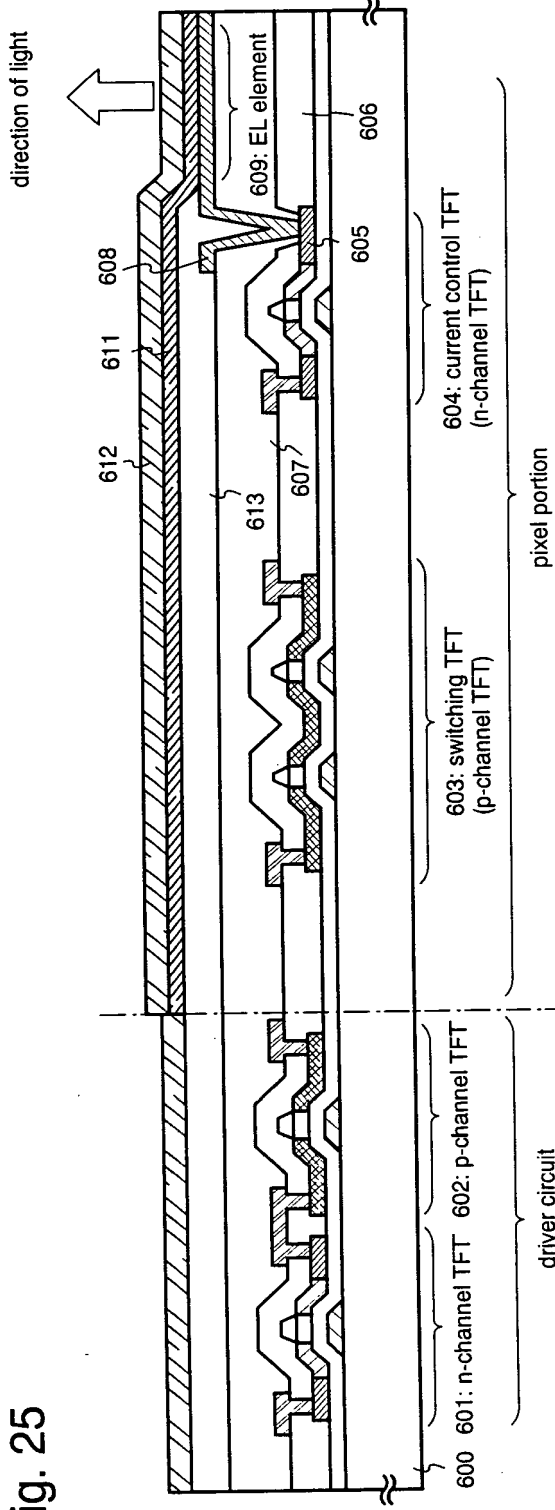


Fig. 25



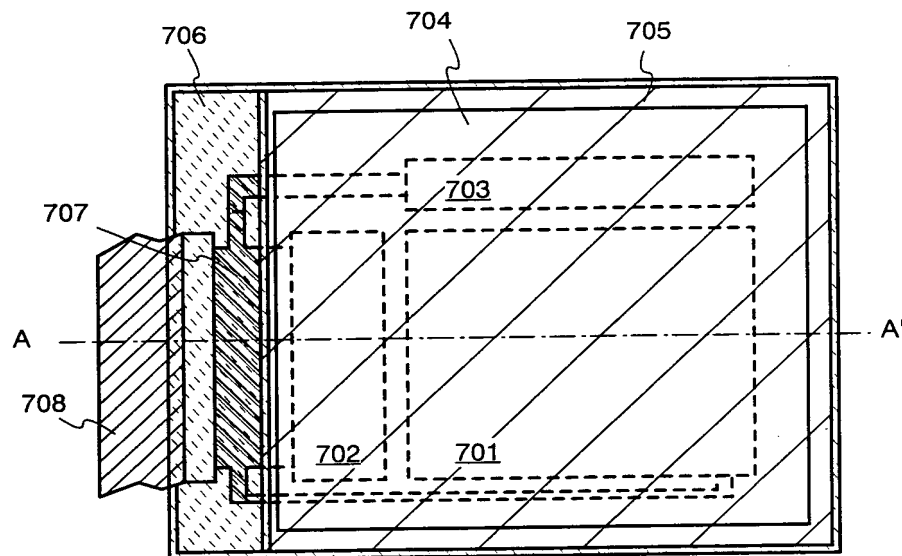


Fig. 26A

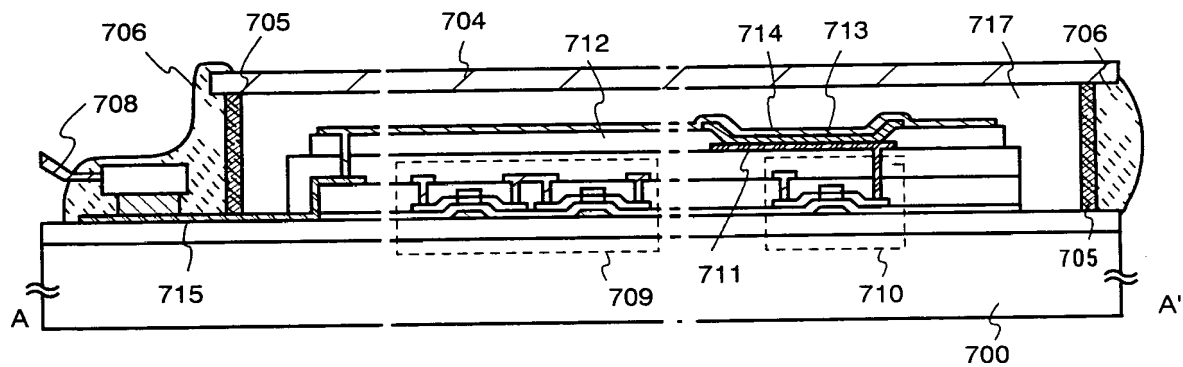


Fig. 26B

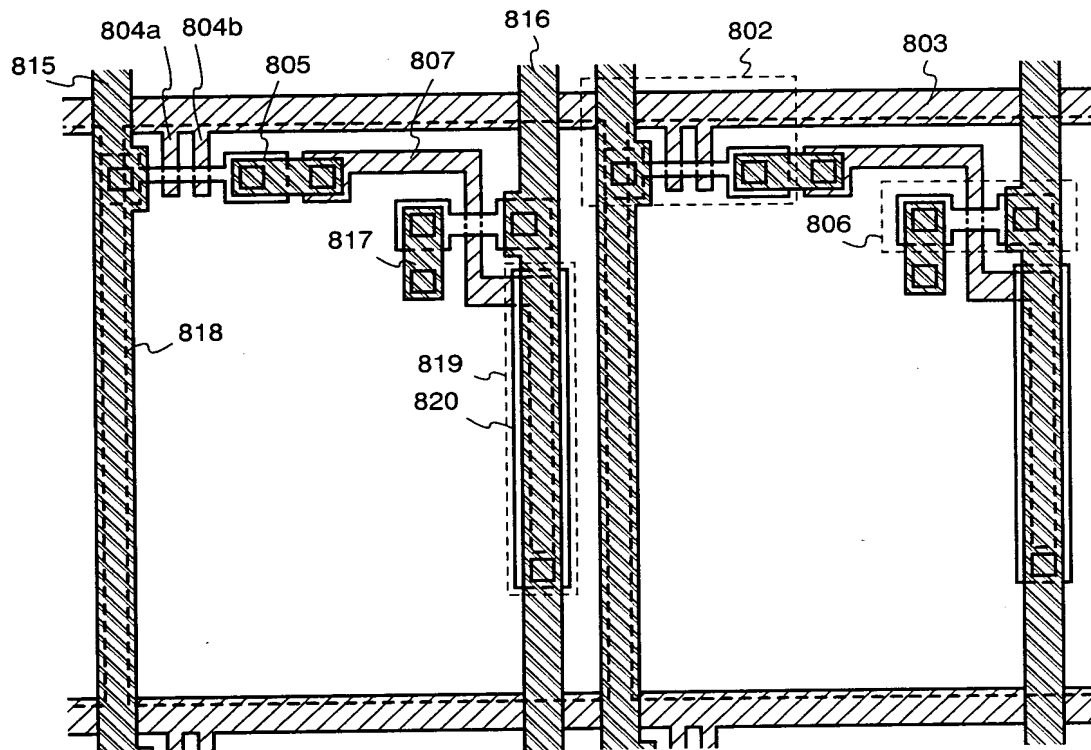


Fig. 27A

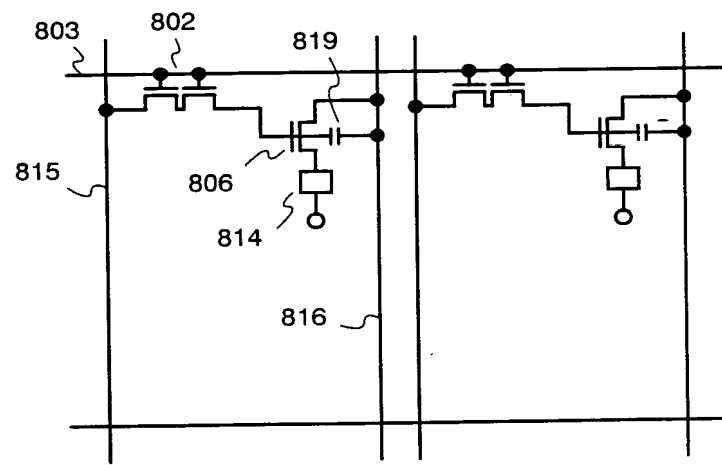


Fig. 27B

Fig. 28

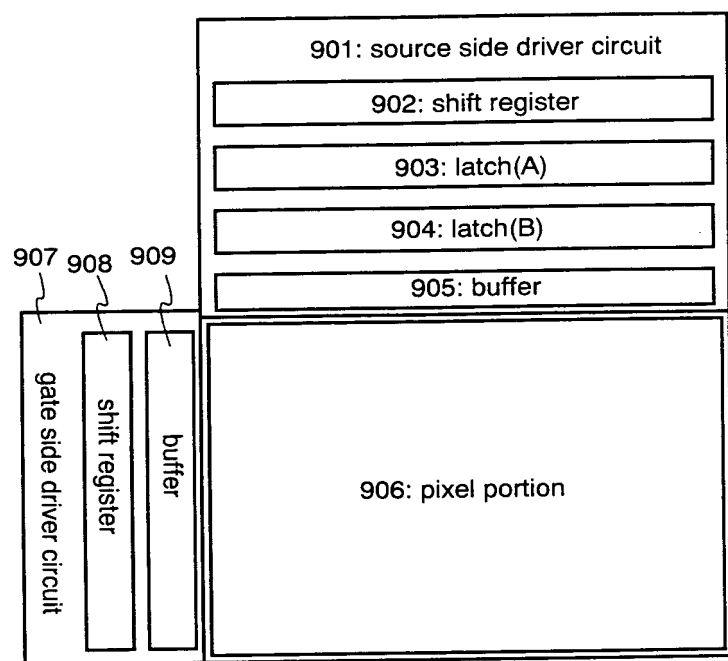


Fig. 29

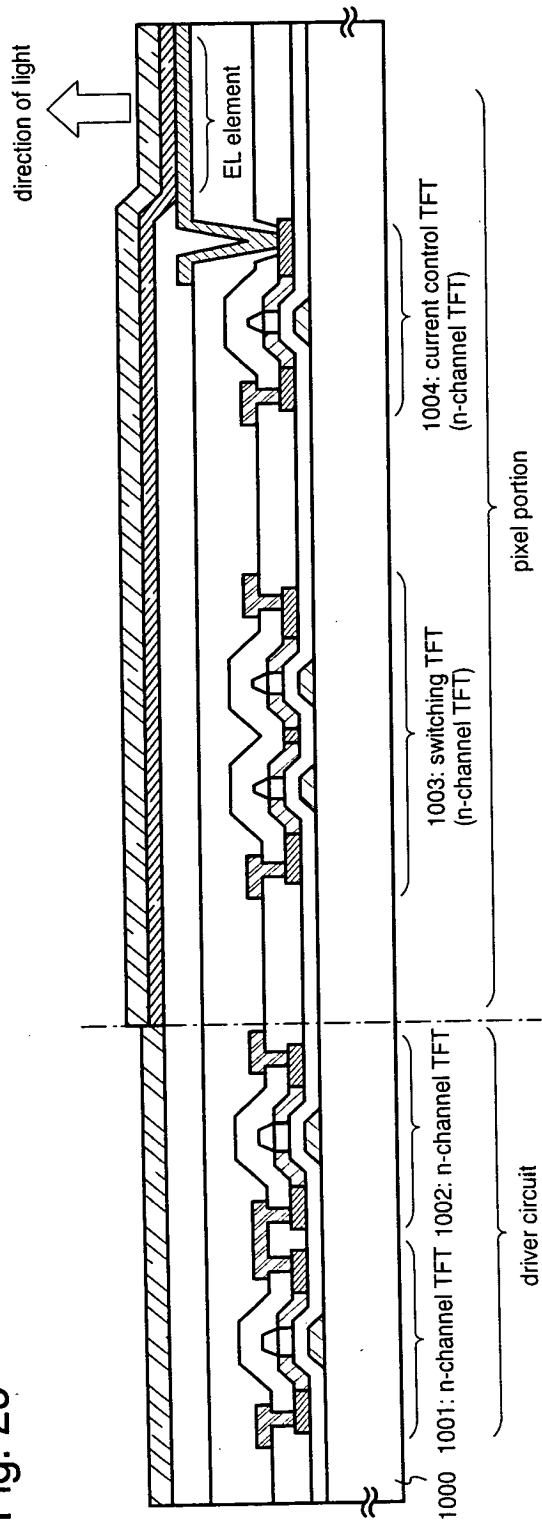


Fig. 30

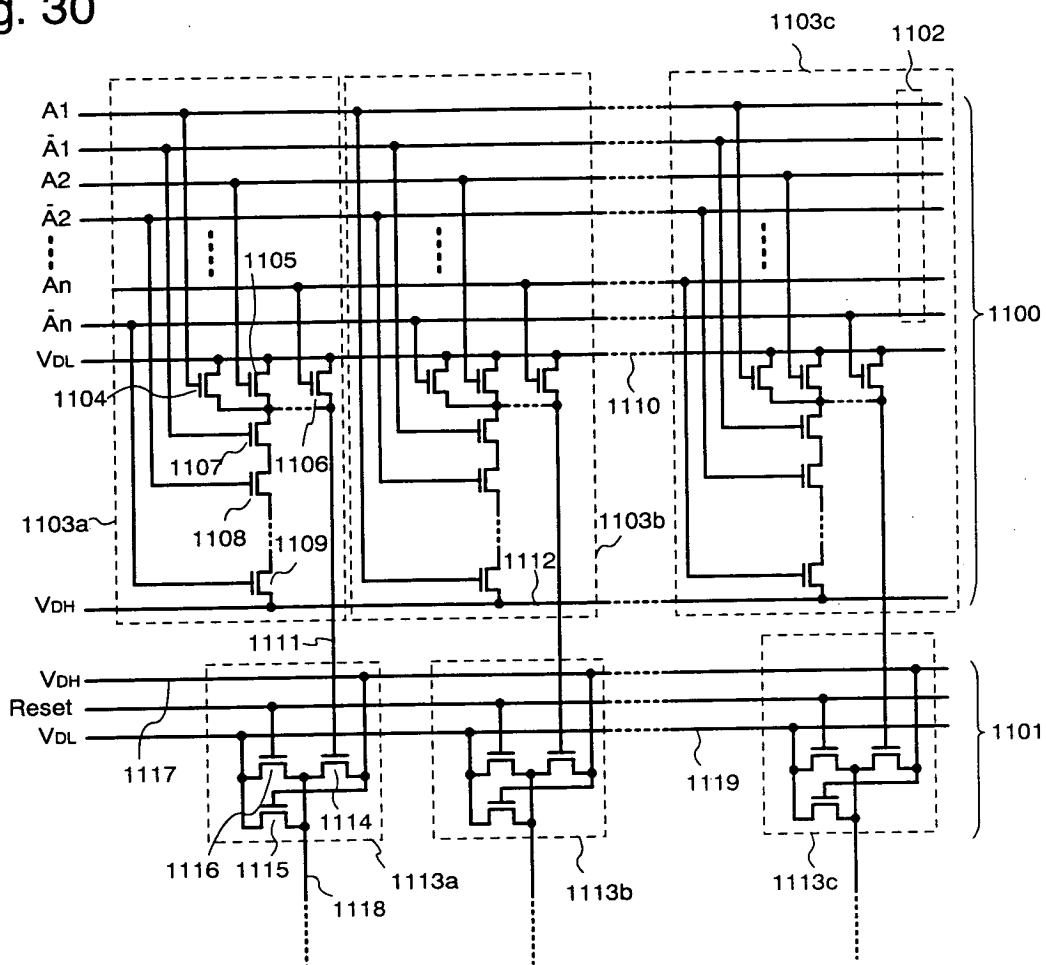


Fig. 31

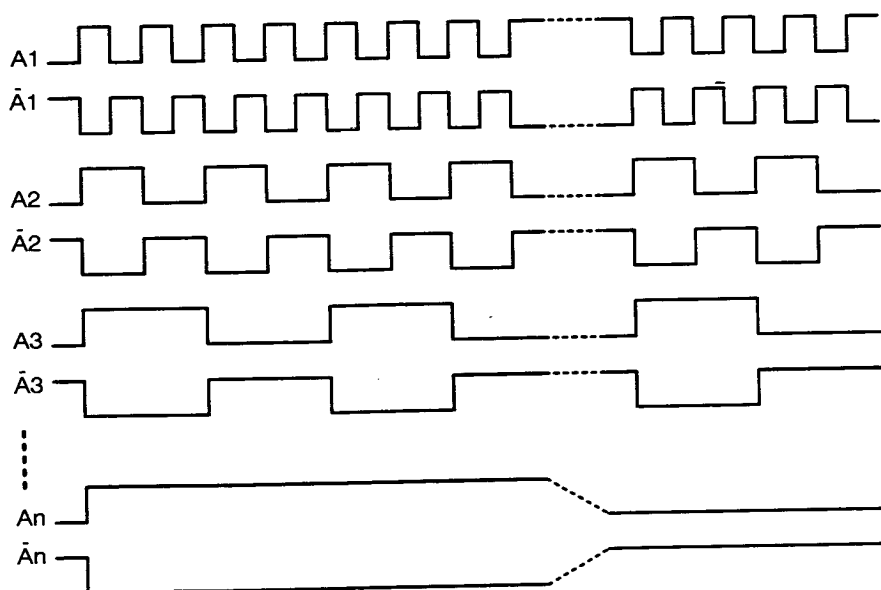


Fig. 32

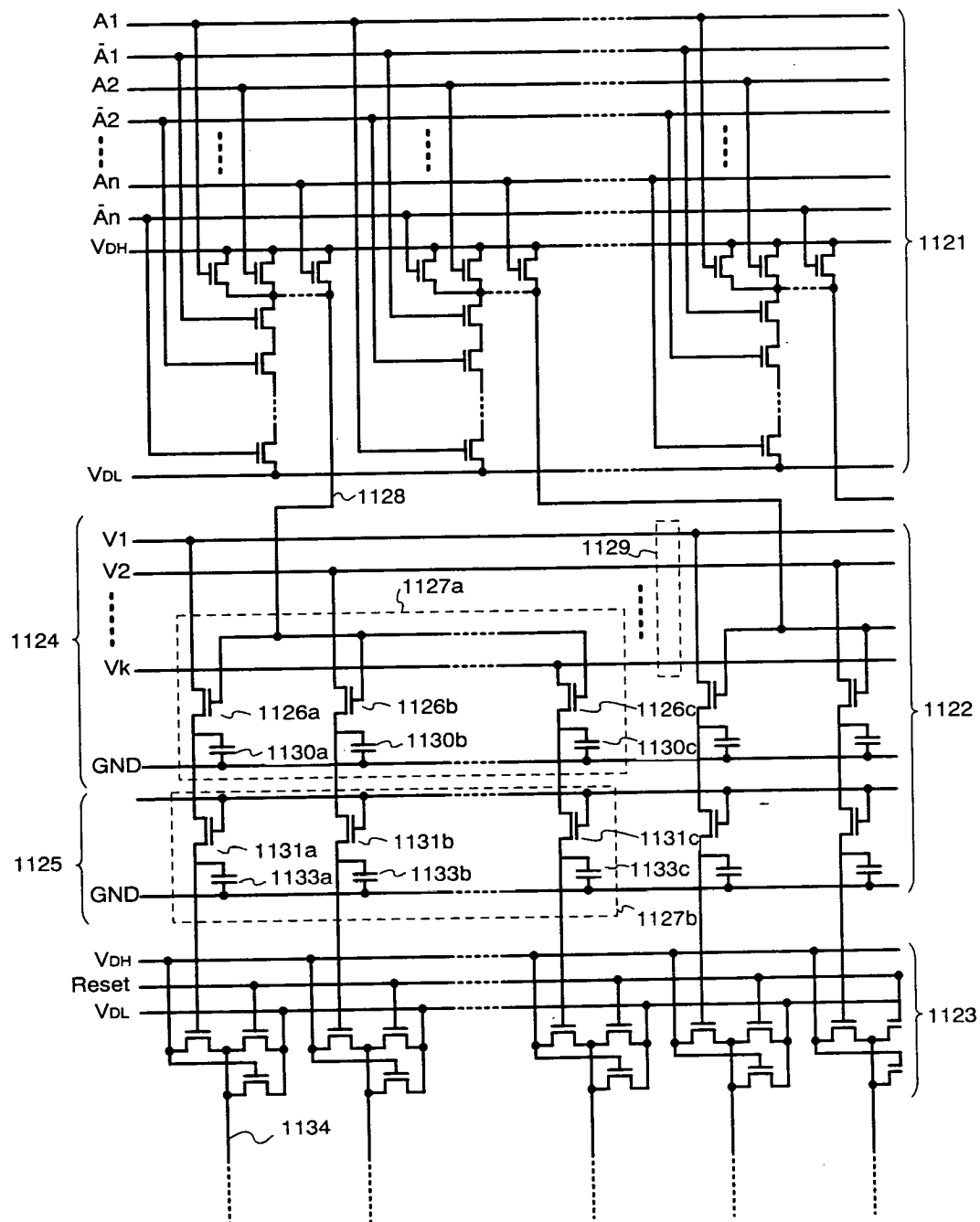


Fig. 33

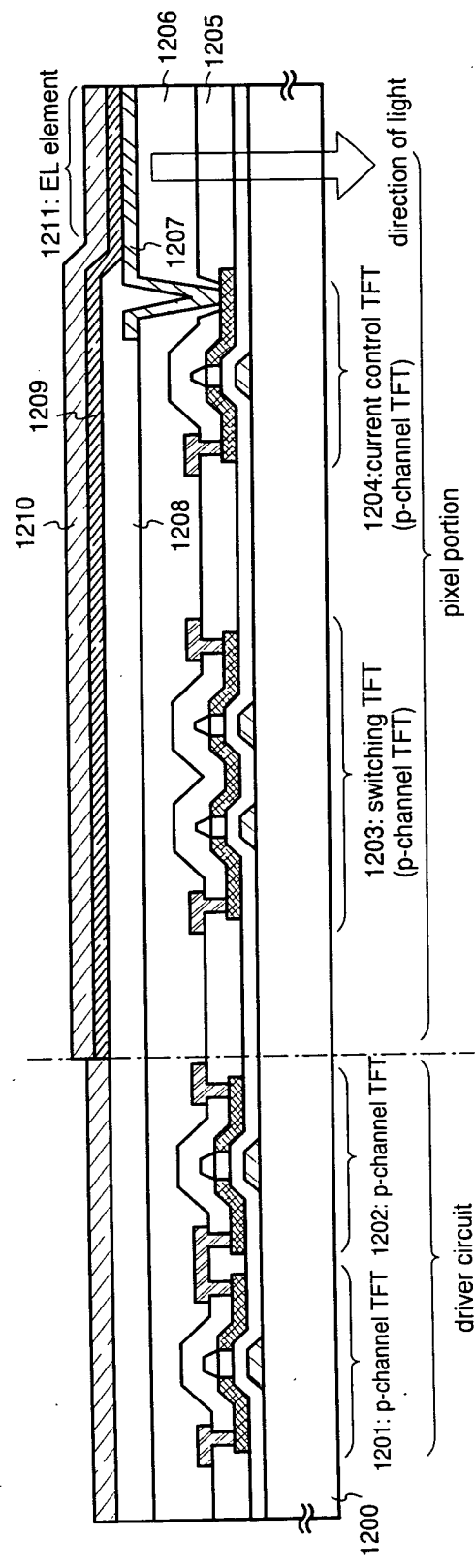


Fig. 34

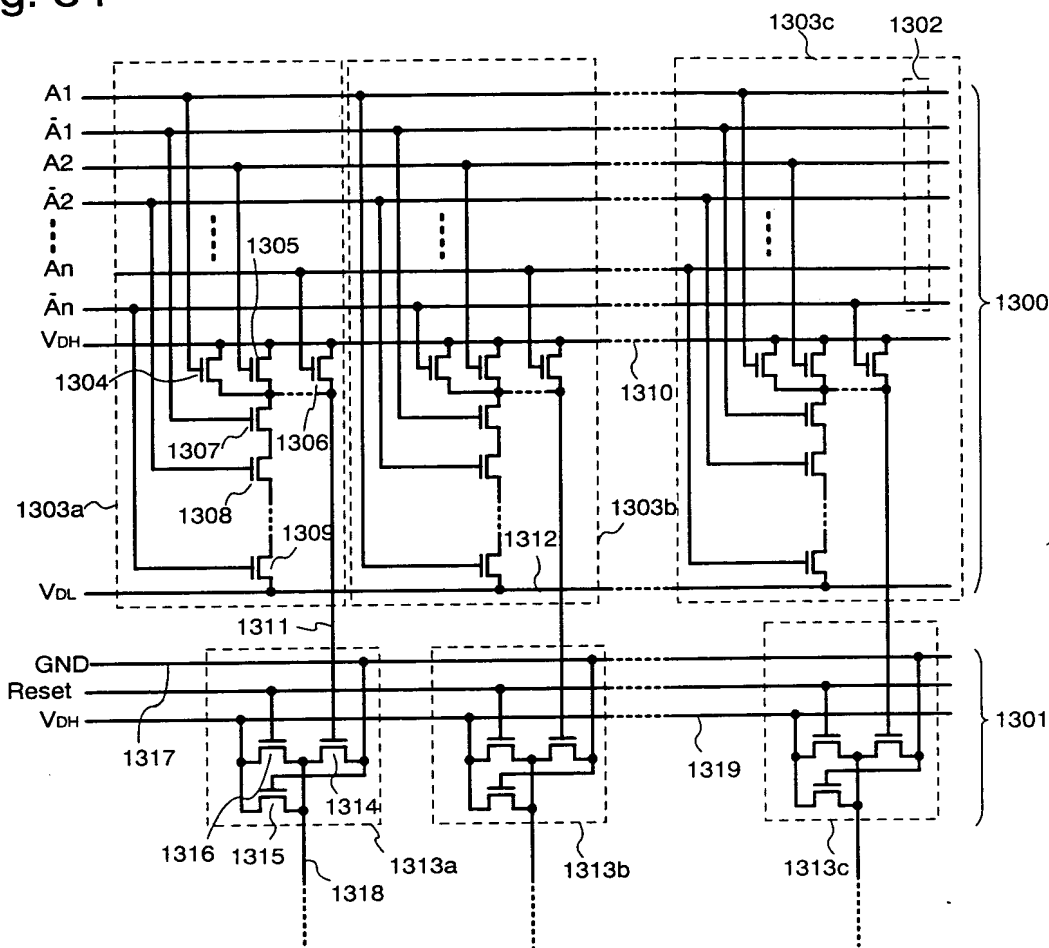


Fig. 35

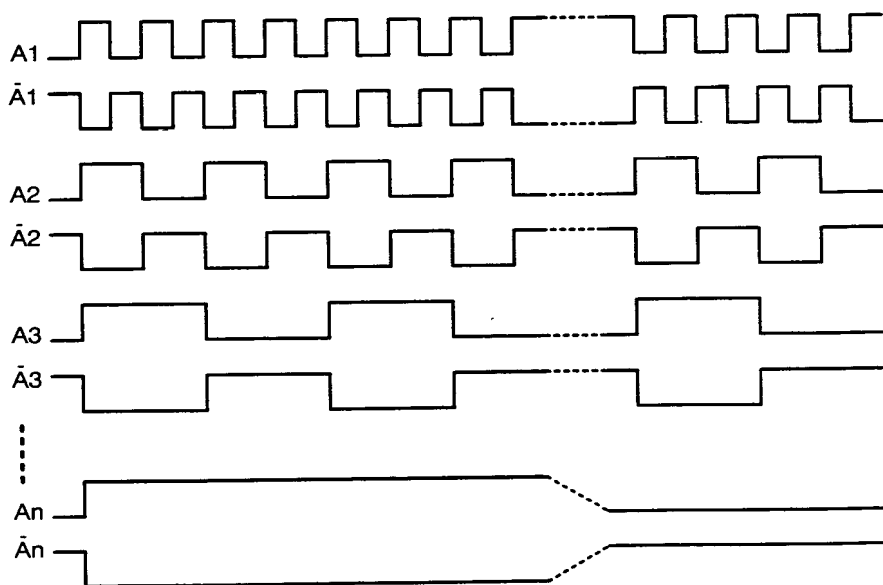
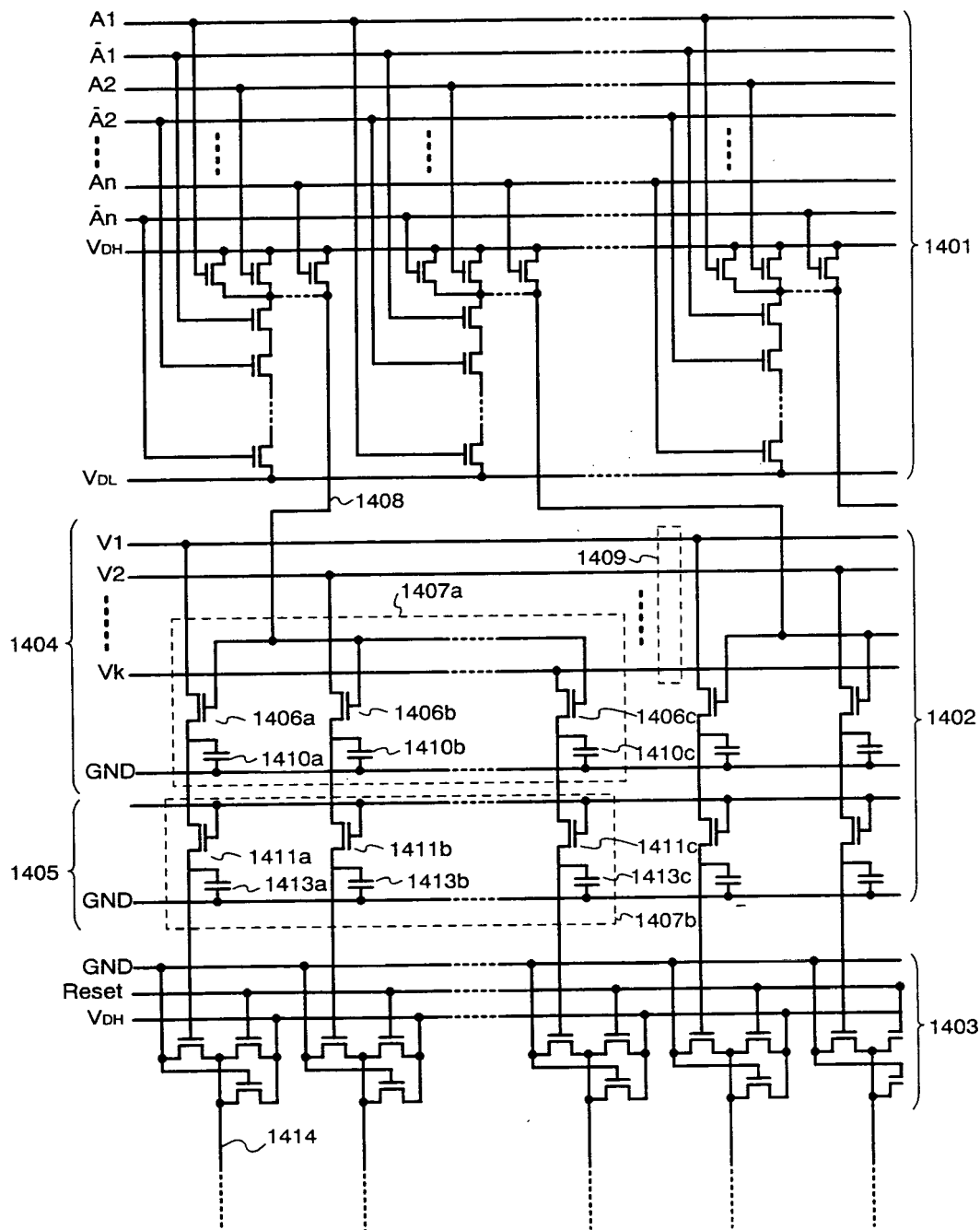


Fig. 36



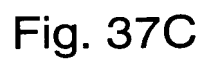
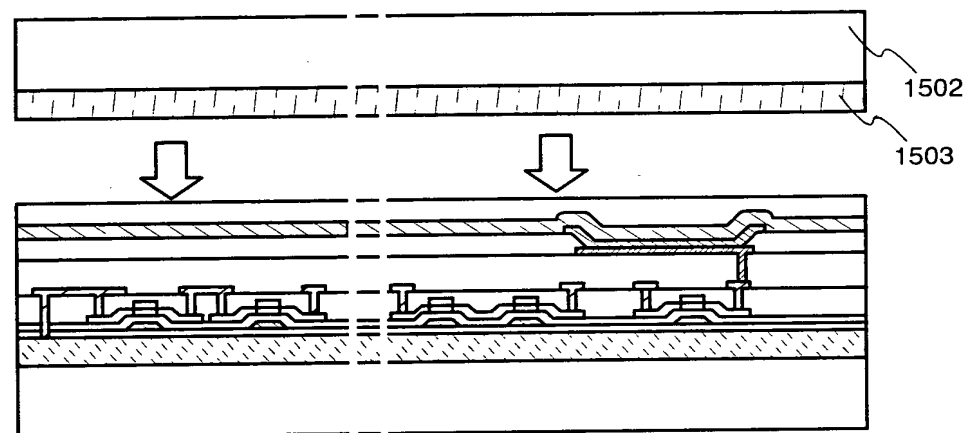
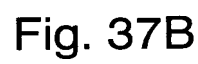
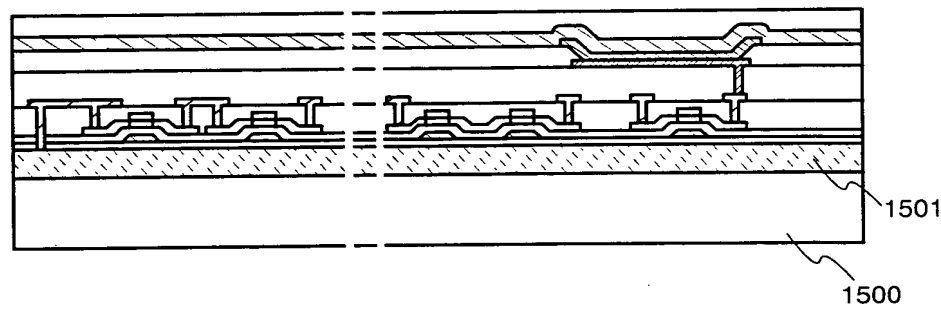
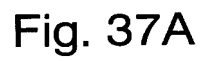


Fig. 38A

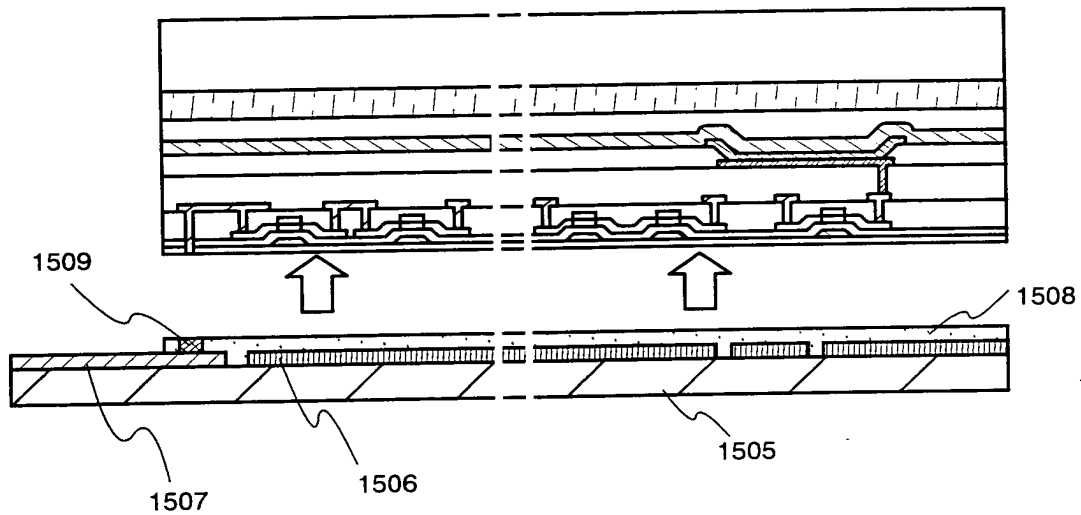
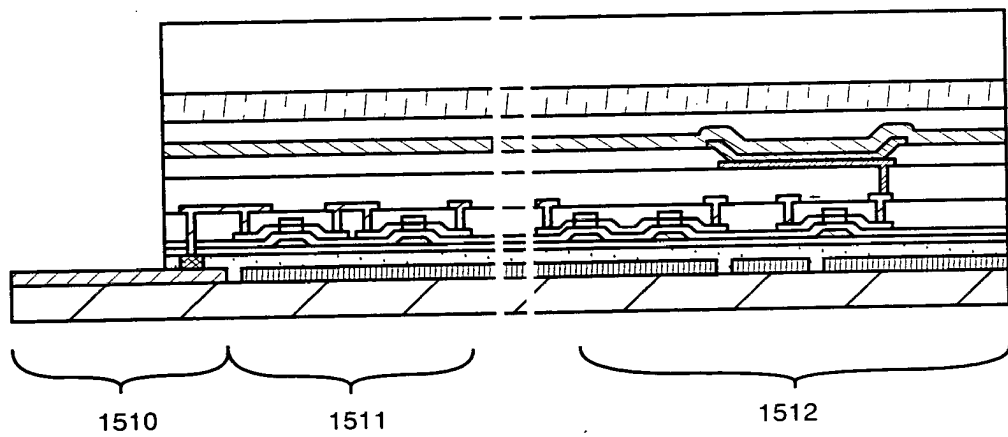


Fig. 38B



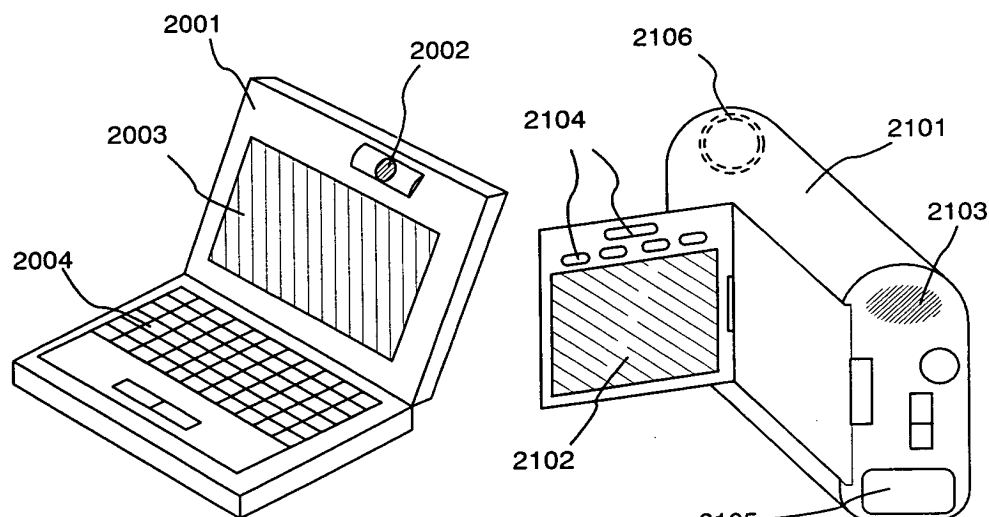


Fig. 39A

Fig. 39B

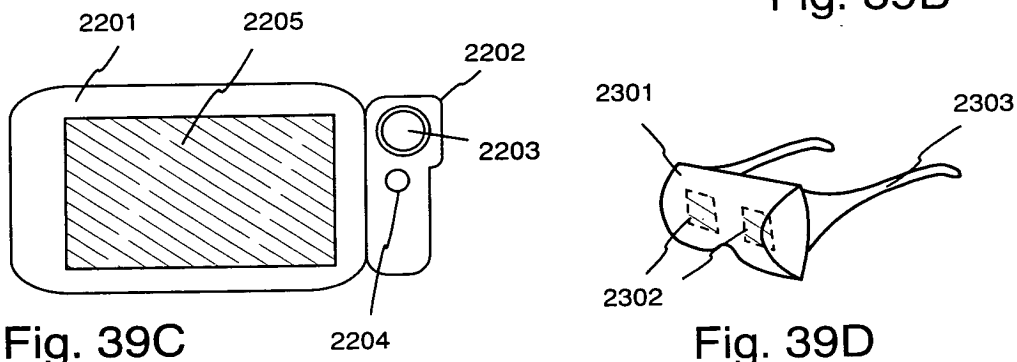


Fig. 39C

Fig. 39D

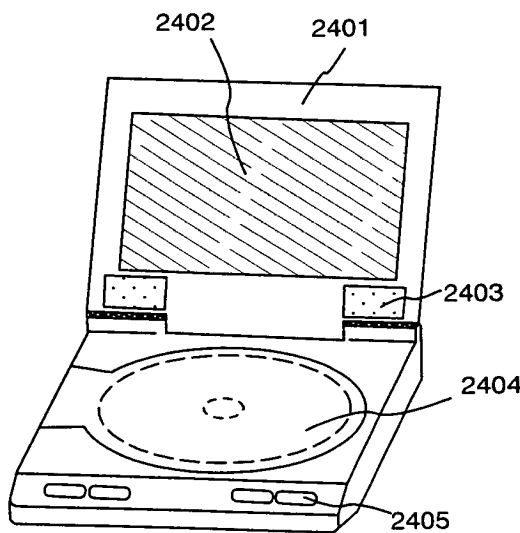


Fig. 39E

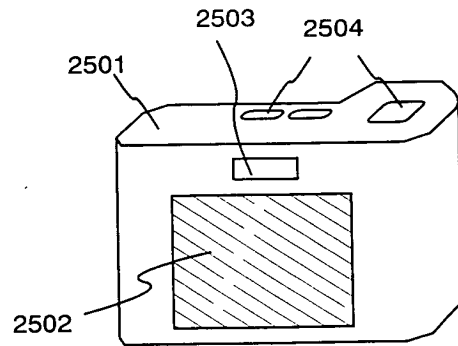


Fig. 39F

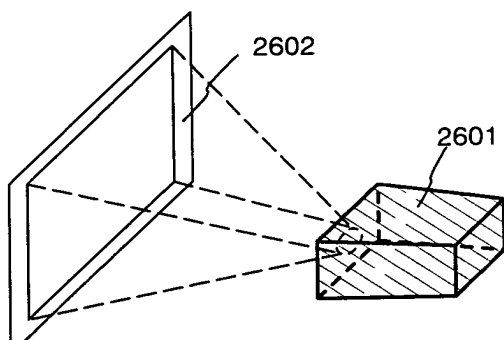


Fig. 40A

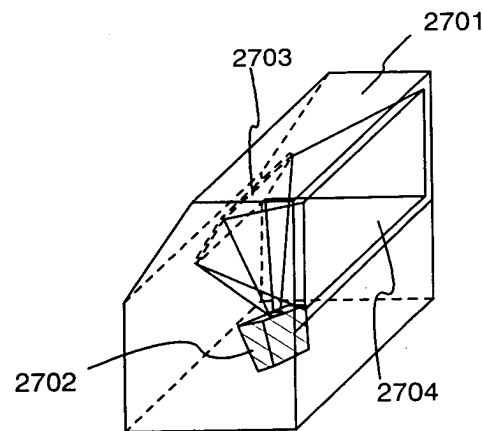


Fig. 40B

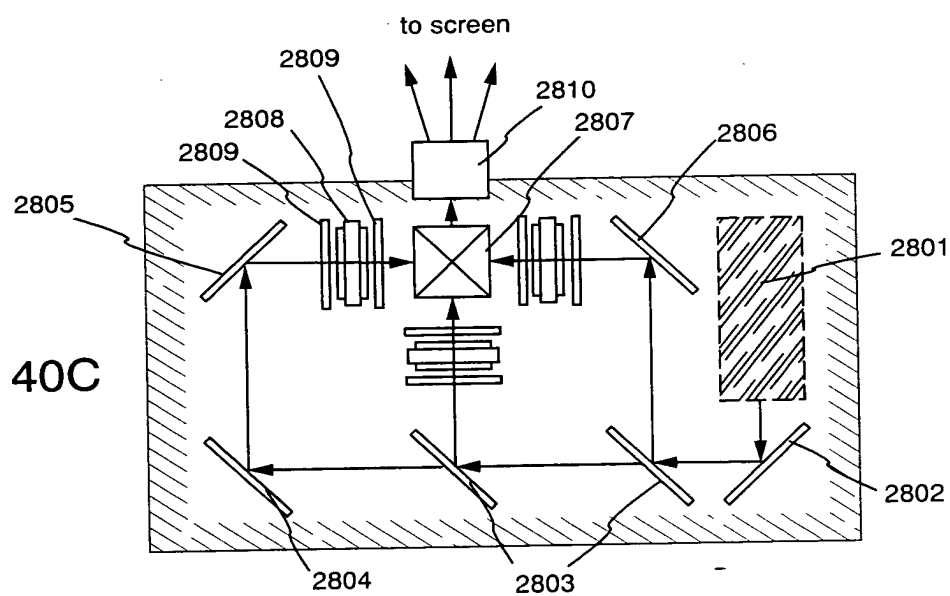


Fig. 40C

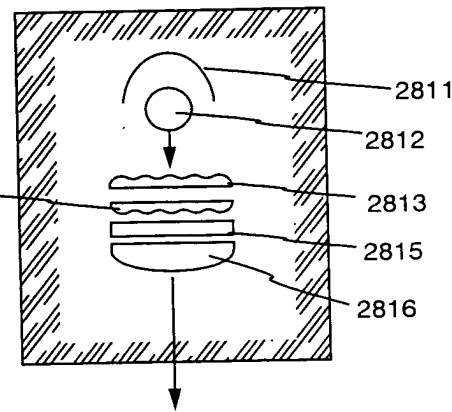


Fig. 40D

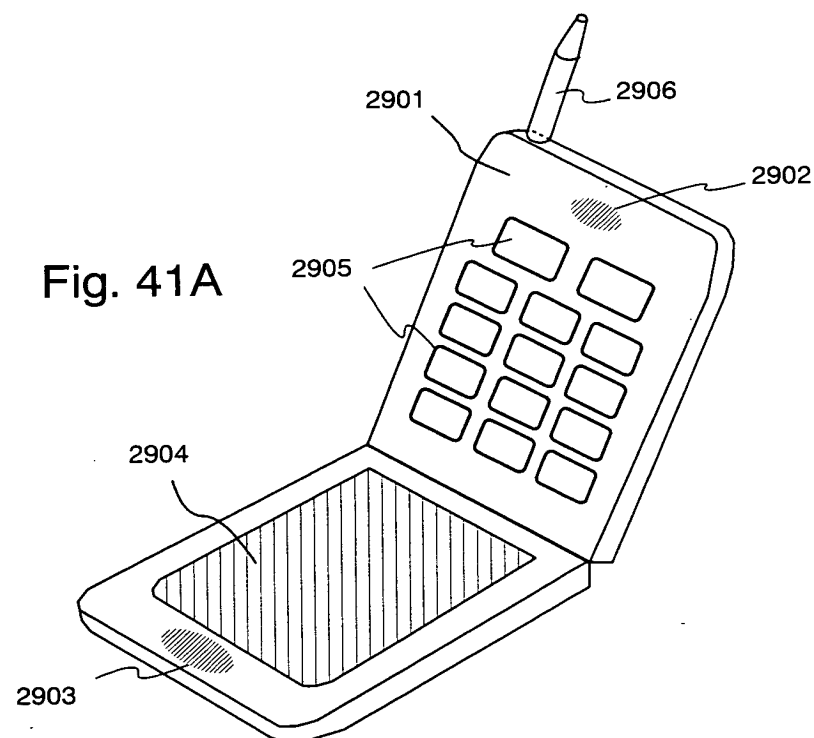


Fig. 41A

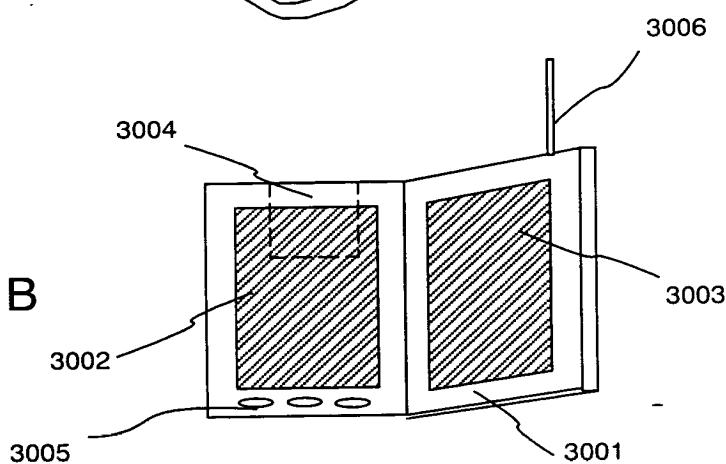


Fig. 41B

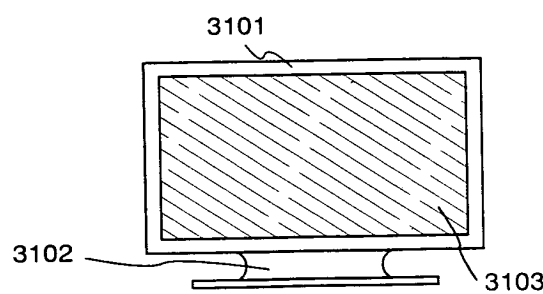


Fig. 41C

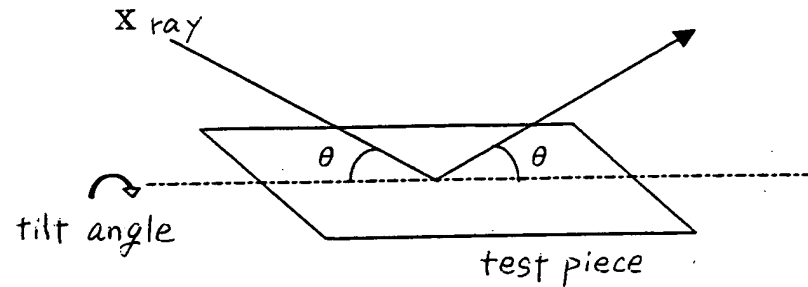


Fig. 42

DISSECTED SECTION

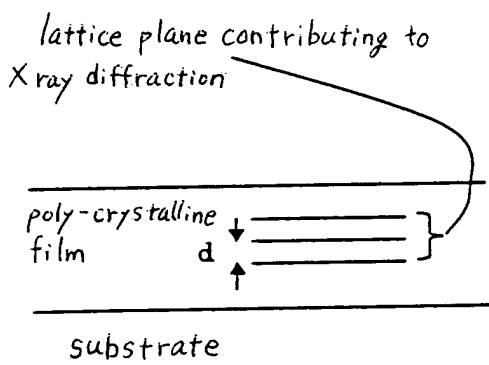


Fig. 43 A

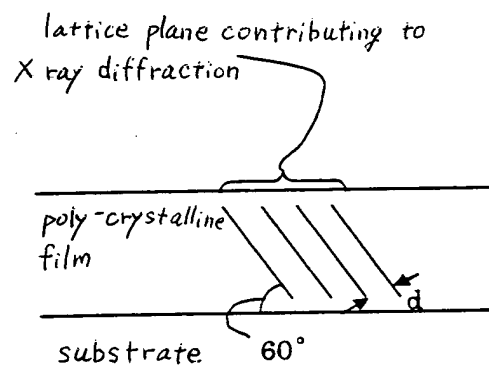


Fig. 43 B

Fig. 44

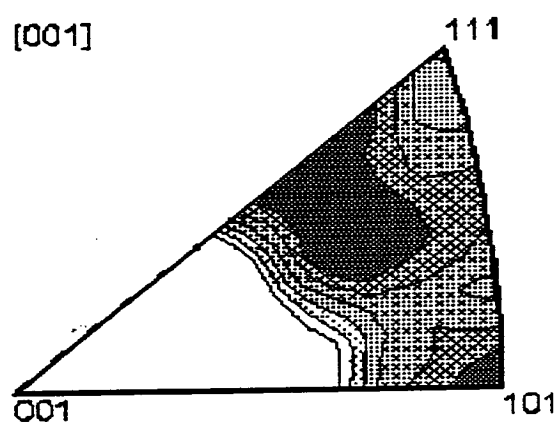


Fig. 45A

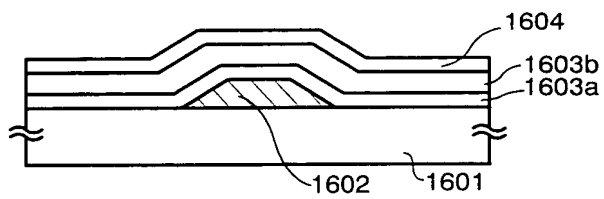


Fig. 45B

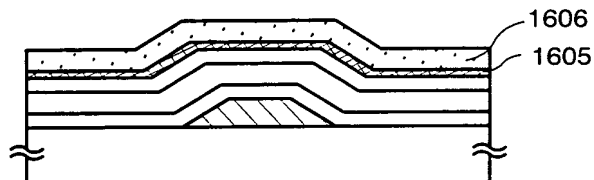


Fig. 45C

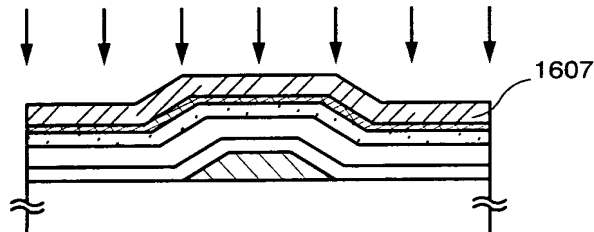


Fig. 45D

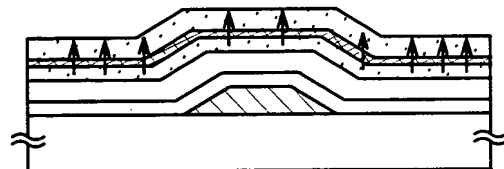


Fig. 45E

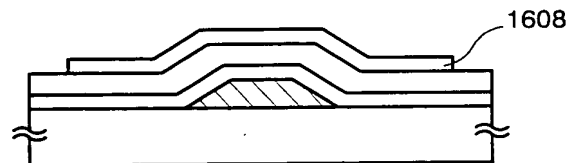


Fig. 46

